

# МОНТЕ-КАРЛОВСКАЯ МОДЕЛЬ ГЛАУБЕРА ПОВРЕЖДЕННЫХ НУКЛОНОВ С МЕЗОННЫМ ОБЛАКОМ

Б. Г. Захаров\*

*Институт теоретической физики им. Л. Д. Ландау Российской академии наук  
142432, Черногловка, Московская обл., Россия*

Поступила в редакцию 11 ноября 2016 г.

На основе предсказаний, сделанных в рамках монте-карловской модели Глаубера, изучено влияние мезонного облака нуклона на  $AA$ -,  $pA$ - и  $pp$ -столкновения. Из анализа данных по плотности зарядовой множественности в  $AA$ -столкновениях найдено, что мезон-барийонная компонента Фока уменьшает требуемую долю бинарных столкновений примерно в 2 раза для столкновений  $Au+Au$  при  $\sqrt{s} = 0.2$  ТэВ и примерно в 1.5 раза для столкновений  $Pb+Pb$  при  $\sqrt{s} = 2.76$  ТэВ. Для центральных  $AA$ -столкновений мезонное облако может увеличивать плотность множественности на 16–18%. Даны предсказания для среднебыстротной плотности зарядовой множественности столкновений  $Pb+Pb$  при  $\sqrt{s} = 5.02$  ТэВ для экспериментов будущего второго этапа эксплуатации ЛНС. Обнаружено, что мезонное облако оказывает слабое влияние на зависимость эллиптичности  $\epsilon_2$  от центральности в  $AA$ -столкновениях. Для столкновений деформированных ядер урана при  $\sqrt{s} = 0.2$  ТэВ найдено, что мезонное облако может в некоторой степени улучшить согласие с данными по зависимости эллиптического потока от зарядовой множественности для очень малых центральностей, определенных по ZDC-сигналам. Обнаружено, что мезонное облако может привести к заметному уменьшению коэффициента асимметрии  $\epsilon_2$  и размера фэйрбола в  $pA$ - и  $pp$ -столкновениях.

DOI: 10.7868/S0044451017060037

## 1. ВВЕДЕНИЕ

Эксперименты, проведенные на RHIC и LHC по столкновениям тяжелых ионов, дали целый ряд фактов в пользу образования горячей КХД-материи в фазе кварк-глюонной плазмы. Гидродинамический анализ потоковых эффектов в  $AA$ -столкновениях при энергиях RHIC и LHC свидетельствует, что кварк-глюонная плазма, образующаяся при  $AA$ -столкновениях, течет, как почти идеальная жидкость [1, 2]. Гидродинамические модели дают время образования такой плазмы в диапазоне  $\tau_0 \approx 0.5$ –1 Фм [3, 4]. Однако последовательная трактовка образования кварк-глюонной плазмы в настоящее время отсутствует, поэтому для гидродинамических моделей эволюции плазмы в  $AA$ -столкновениях невозможно использовать строгие начальные условия, полученные из первых принципов, и приходится применять феноменологические модели.

На сегодняшний день наиболее популярными феноменологическими методиками для определения начальных условий фэйрбола плазмы являются модели IP-глазмы [5, 6] и модель Глаубера поврежденных нуклонов [7, 8]. Модель IP-глазмы основана на пертурбативной КХД-схеме цветного спинового конденсата [9], в которой предполагается, что глюонные поля сталкивающихся ядер могут быть рассмотрены в рамках теории возмущений вплоть до инфракрасной области  $m_g \sim 1/R_p \approx 0.2$  ГэВ [5, 6] ( $R_p$  — радиус протонного заряда). При таком малом инфракрасном масштабе глюонная плотность (и плотность морских кварков) нуклона может быть описана как произведенная радиационно с использованием полей Вайцеккера–Вильямса для составляющих кварков [10, 11]. В этом случае пертурбативное дипольное сечение рассеяния  $\sigma_{q\bar{q}}$  взаимодействия  $q\bar{q}$ -пары с нуклоном (которое может быть выражено через распределение глюонов [12]), соответствующее двойному глюонному обмену, позволяет воспроизвести  $\pi p$ -сечение рассеяния в области до нескольких десятков гигаэлектронвольт [13]. Однако инфракрасное обрезание масштаба порядка  $1/R_p$  находится в противоречии с тем, что обратный ради-

\* E-mail: bgz@itp.ac.ru

ус корреляции глюонного поля в КХД-вакууме составляет  $1/R_c \approx 0.75$  ГэВ [14]. Этот масштаб, являющийся естественным нижним пределом виртуальности для пертурбативных глюонов, в несколько раз больше, чем  $1/R_p$ . Можно ожидать, что для пары  $q\bar{q}$  с поперечным размером  $\rho \gtrsim R_p$  неупругие взаимодействия определяются непертурбативными процессами реорганизации цветовых трубок [15, 16], а пертурбативный механизм становится доминирующим только при  $\rho \lesssim R_c$ . В дипольном подходе к уравнению БФКЛ [17] данные по структурной функции  $F_2$  протона при малых  $x$  могут быть хорошо описаны в предположении, что дипольное сечение рассеяния содержит пертурбативную компоненту с инфракрасным обрезанием  $m_g \sim 1/R_c$  и независимую от энергии непертурбативную компоненту, которая может быть подобрана так, чтобы воспроизвести экспериментальное пион-протонное сечение рассеяния [18]. Важно, что в этом сценарии эволюция БФКЛ и эффекты насыщения в пертурбативном дипольном сечении рассеяния с инфракрасным обрезанием  $m_g \sim 1/R_c$  оказываются значительно слабее, чем для  $m_g \sim 1/R_p$ . Недавний анализ [19]  $pp$ -сечения рассеяния в описанной выше двухкомпонентной дипольной схеме с  $m_g \approx 0.75$  ГэВ показывает, что пертурбативный вклад оказывается меньше, чем непертурбативный вплоть до  $\sqrt{s} \sim 10^3$  ГэВ [19]. Это ставит под вопрос точность чисто пертурбативных схем для расчета начальных параметров кварк-глюонной плазмы в  $AA$ -столкновениях при энергиях RHIC и LHC.

Модель Глаубера поврежденных нуклонов [7, 8] представляет собой феноменологическое расширение обычной модели Глаубера, разработанное для расчета адронных спектров в неупругих столкновениях ядро-ядро и адрон-ядро. В первоначальном виде [7] предполагалось, что в  $AA$ -столкновении каждый нуклон, участвующий в неупругом мягком взаимодействии (так называемый участвующий или поврежденный нуклон) дает фиксированный вклад в плотность зарядовой множественности. Изначально эта идея была чисто эмпирической. Однако недавно была сделана попытка дать этой картине интерпретацию в рамках КХД [20–22]. Для рождения частиц в центральной области быстрот ( $\eta = 0$ ) в системе центра масс сталкивающихся ядер вклад каждого участвующего нуклона равен половине плотности зарядовой множественности в  $pp$ -соударениях. Для  $AA$ -столкновений это дает плотность множественности, пропорциональную  $N_{part}$ , где  $N_{part}$  — число участников в обоих сталкивающихся ядрах. Позднее [8] была предложена

двухкомпонентная версия этой модели, где, в дополнение к пропорциональному  $N_{part}$  вкладу, учитывается вклад жестких бинарных столкновений, пропорциональный  $N_{coll}$ . В этой двухкомпонентной версии плотность зарядовой множественности для  $AA$ -столкновений принимает вид

$$\frac{dN_{ch}(AA)}{d\eta} = \frac{1-\alpha}{2} n_{pp} N_{part} + \alpha n_{pp} N_{coll}, \quad (1)$$

где  $n_{pp} = dN_{ch}/d\eta$  — среднебыстротная зарядовая плотность множественности в  $pp$ -столкновениях, а  $\alpha$  характеризует относительный вклад жестких процессов в многочастичное рождение частиц. В модели Глаубера величины  $N_{part}$  и  $N_{coll}$  могут быть выражены через неупругое  $pp$  сечение рассеяния  $\sigma_{in}^{NN}$  и ядерную плотность  $\rho_A$ . Для столкновения  $A+B$  тяжелых ядер с заданным прицельным параметром  $\mathbf{b}$  в оптическом приближении эти величины имеют вид

$$N_{part}(\mathbf{b}) = \int d\rho T_A(\rho) \times \{1 - \exp[-T_B(\mathbf{b} - \rho)\sigma_{in}^{NN}]\} + \int d\rho T_B(\rho) \{1 - \exp[-T_A(\mathbf{b} - \rho)\sigma_{in}^{NN}]\}, \quad (2)$$

$$N_{coll}(\mathbf{b}) = \sigma_{in}^{NN} \int d\rho T_A(\rho) T_B(\mathbf{b} - \rho), \quad (3)$$

где  $T_A(\mathbf{b}) = \int dz \rho_A(\mathbf{b}, z)$  — функция профиля ядра.

Важно, что двухкомпонентная модель Глаубера допускает монте-карловскую формулировку [23–25]. Монте-карловская глауберовская (МКГ) модель оказывается весьма удобной для анализа флуктуаций наблюдаемых величин в  $AA$ -столкновениях. Анализ данных по зависимости плотности зарядовой множественности от центральности в столкновениях Au+Au при  $\sqrt{s} = 0.2$  ТэВ и в соударениях Pb+Pb при  $\sqrt{s} = 2.76$  ТэВ дает  $\alpha \approx 0.13$ – $0.15$  [26–28]. Для таких значений  $\alpha$  жесткий вклад в образование частиц в  $AA$ -столкновениях оказывается достаточно большим (40–50% для центральных столкновений). Однако недавно большой вклад бинарных столкновений был подвергнут сомнению в силу отсутствия структуры «плеча» в данных коллаборации STAR по потоковому коэффициенту  $v_2$  в столкновениях U+U при  $\sqrt{s} = 193$  ГэВ [29], которое было предсказано в МКГ-моделировании [30, 31]. В [30, 31] предсказывалось, что, благодаря вытянутой форме уранового ядра, начальная асимметрия  $\epsilon_2$  для столкновений U + U при топ-1%-множественности должна иметь подобную плечу структуру. Этот эффект связан с ростом вклада бинарных

столкновений, пропорционального  $N_{coll}$  для продольно-продольных конфигураций сталкивающихся ядер, по сравнению с событиями с конфигурацией ядер «бок в бок». Зависимость, подобная плечу в эллиптическом потоке для столкновений  $U+U$ , предсказанная в работах [30, 31], стимулировала поиск альтернативных подходов к распределению энтропии в  $AA$ -соударениях в модели Глаубера, которые могли бы согласовываться с меньшим (или отсутствующим) вкладом бинарных столкновений [32, 33].

Требуемый вклад бинарных столкновений может быть меньше в том случае, если модель Глаубера поврежденных нуклонов формулируется на субнуклонном уровне, когда неупругие  $NN$ -взаимодействия описываются как неупругие взаимодействия конstituентов нуклона, например кварков. Формализм поврежденных нуклонов на кварковом уровне был развит в работах [34, 35]. Для моделей поврежденных нуклонов с внутренними субнуклонными степенями свободы величина  $dN_{ch}(AA)/d\eta$  представляет собой нелинейную функцию числа поврежденных нуклонов даже в отсутствие вклада жесткого рассеяния [36–40]. Это обусловлено ростом доли поврежденных компонент каждого нуклона, участвующего в  $AA$ -столкновениях, по сравнению с  $pp$ -столкновениями. В таком представлении двухкомпонентная структура (1), подтвержденная экспериментально, может выступать просто как приближенная модель, имитирующая кварковый скейлинг произведенной энтропии в отсутствие (или при наличии очень малого) вклада бинарных столкновений [40]. Однако недавний анализ [36] показывает, что в модели поврежденных кварков, вклад  $qq$ -взаимодействий в множественность, необходимый для описания данных по  $AA$ -столкновениям, может значительно отличаться от вклада, требуемого для  $pp$ -столкновений. Например, данные по столкновениям  $Au+Au$  при  $\sqrt{s} = 0.2$  ТэВ требуют вклада кварков, уменьшенного примерно в 1.4 раза по сравнению с  $pp$ -взаимодействием [36]. Результаты, полученные в работе [37] показывают, что соответствие между  $AA$ - и  $pp$ -столкновениями улучшается, если нуклон рассматривать как кварк-дикварковую систему.

В предыдущих обобщениях стандартной модели Глаубера поврежденных нуклонов на субнуклонном уровне предполагалось, что субнуклонные степени свободы представляют собой составляющие кварки (или дикварки) [34–40]. Однако хорошо известно, что во внутренней нуклонной структуре важную роль также играют крупномасштаб-

ные мезон-барионные флуктуации. Анализ нуклонной волновой функции в системе бесконечного импульса (СБИ) показывает, что вес мезон-барионных состояний Фока в нуклоне может достигать примерно до 40% [41]. В мезон-барионные флуктуации нуклона основной вклад вносит фоковская компонента  $\pi N$  физического нуклона. Известно, что эффект пионного облака играет важную роль в дифракционных процессах [42–44]. При наличии мезон-барионных составляющих, дифракционное возбуждение налетающего протона возникает благодаря хорошо известному механизму Гуда–Уокера [45] связанного с различием упругих амплитуд для разных фоковских состояний. Вклад мезон-барионных компонент важен также в инклюзивных реакциях  $pp \rightarrow n(\Delta^{++})X$ , в которые основной вклад вносит неупругое взаимодействие пиона из налетающего протона с протоном мишени [46–49]. Уже давно стало понятно, что мезон-барионные фоковские компоненты нуклона играют значительную роль в флейворной зависимости партонных функций распределения (ПФР) нуклона в глубоко-неупругом рассеянии (ГНР) [41]. Считается, что мезон-барионные компоненты Фока отвечают за нарушение правила сумм Готтфрида [41]. С точки зрения  $AA$ -столкновений важно, что, подобно модели поврежденных нуклонов с составляющими кварками, в модели с мезонными степенями свободы должен быть нелинейный рост  $dN_{ch}(AA)/d\eta$  с увеличением числа поврежденных нуклонов. Понятно, что такой эффект должен возникать независимо от специфики механизма неупругих процессов.

В настоящей работе мы развиваем МКГ-формализм, учитывающий мезон-барионную компоненту Фока физического нуклона, и рассматриваем ее влияние на производство энтропии в  $AA$ -столкновениях. Мы также изучаем ее влияние на образование малоразмерного плазменного фэйрбола в  $pA$ - и  $pp$ -столкновениях. Следуя работам по влиянию мезонного облака на ПФР нуклона [41], мы используем СБИ-схему для мезон-барионных состояний Фока<sup>1</sup>. В рамках нашей МКГ-модели мы анализируем доступные данные по зарядовой плотности для столк-

<sup>1</sup>) Заметим, что наши вычисления с точки зрения неупругого сечения рассеяния, соответствуют учету эффекта неупругих грибовских перерассеяний [50]. Но следует иметь в виду, что с точки зрения плотности зарядовой множественности схема поврежденных нуклонов не эквивалентна вычислениям в модели Глаубера с правилами Абрамовского–Грибова–Канчели, которые без померонных взаимодействий дают для ядерных  $AB$ -столкновений  $dN_{ch}(AA)/d\eta = ABn_{pp}$  в центральной области быстрот [51].

новений Au+Au при  $\sqrt{s} = 0.2$  ТэВ [27] и столкновений Pb+Pb при  $\sqrt{s} = 2.76$  ТэВ [52], а также даем предсказания для столкновений Pb+Pb при  $\sqrt{s} = 5.02$  ТэВ для предстоящих экспериментов на ЛНС.

План работы таков. В разд. 2 мы обсуждаем СБИ-модель физического нуклона, а в разд. 3 — детали построенной МКГ-схемы. В разд. 4 мы представляем наши численные результаты. Сначала мы фиксируем параметры модели из распределения зарядовой плотности в  $pp$ -столкновениях. Затем представляем результаты МКГ-моделирования плотности зарядовой множественности и азимутальной асимметрии  $\epsilon_2$  в  $AA$ -столкновениях. Мы также представляем результаты для  $pA$ - и  $pp$ -столкновений. Раздел 5 содержит выводы. Некоторые наши результаты по плотности зарядовой множественности для столкновений Au+Au и Pb+Pb были опубликованы ранее в кратком сообщении [53].

## 2. МОДЕЛЬ МЕЗОН-БАРИОННОЙ КОМПОНЕНТЫ НУКЛОНА

Наше рассмотрение мезон-барионной компоненты соответствует подходу, который был использован при анализе влияния мезонного облака на ПФР нуклона (хороший обзор содержится в [41]). Этот подход основан на СБИ-картине волновой функции физического нуклона. При высоких энергиях эта модель применима в лидирующем порядке по энергии нуклона. Мы записываем волновую функцию физического нуклона в СБИ в виде суммы одночастичного и двухчастичного состояний Фока [41, 54]:

$$|N_{phys}\rangle = \sqrt{1 - n_{MB}} |N\rangle + \sum_{MB} \int dx d\mathbf{k} \Psi_{MB}(x, \mathbf{k}) |MB\rangle. \quad (4)$$

Здесь  $N$ ,  $B$  и  $M$  обозначают голые состояния барионов и мезона,  $x$  — относительный продольный импульс мезона в физическом нуклоне,  $\mathbf{k}$  — поперечный импульс мезона,  $\Psi_{MB}$  — амплитуда вероятности для двухчастичного  $MB$ -состояния Фока, а

$$n_{MB} = \sum_{MB} \int dx d\mathbf{k} |\Psi_{MB}(x, \mathbf{k})|^2 \quad (5)$$

дает общий вес  $MB$ -компонент Фока. Доминирующей двухчастичной компонентой Фока является состояние  $\pi N$ . Энергетический знаменатель временной теории возмущений в СБИ для  $MB$ -компоненты есть  $E_N - E_M - E_B \approx [m_N^2 - M_{MB}^2(x, \mathbf{k}^2)]/2E_N$ , где

$$M_{MB}^2(x, \mathbf{k}^2) = \frac{m_M^2 + \mathbf{k}^2}{x} + \frac{m_B^2 + \mathbf{k}^2}{1-x} \quad (6)$$

— квадрат инвариантной массы двухчастичной системы  $MB$ .

Волновая функция фоковской компоненты  $MB$  в СБИ (для точечных частиц) может быть написана в виде

$$\Psi_{MB}(x, \mathbf{k}) = \frac{\langle MB|V|N\rangle}{4\pi^{3/2} \sqrt{x(1-x)} [m_N^2 - M_{MB}^2(x, \mathbf{k})]}. \quad (7)$$

Уравнение (7) соответствует нормировке волновой функции из уравнения (5). Здесь  $\langle MB|V|N\rangle$  — вершинный фактор в пределе СБИ, зависящий от формы лагранжиана. Для доминирующего состояния  $\pi N$  вершина имеет вид  $\langle \pi N'|V|N\rangle = g_{\pi NN'} \bar{u}_{N'} \gamma_5 u_N$  (зависящие от спиральности вершинные функции для различных  $MB$ -состояний можно найти в обзоре [41]). Учет внутренней структуры адронов можно провести, умножая вершинный фактор для точечных частиц на формфактор  $F$ . Для обеспечения сохранения заряда и импульса для волновой функции в СБИ формфактор должен зависеть от  $x$  и  $\mathbf{k}$  только через инвариантную массу  $M_{MB}(x, \mathbf{k})$  [41, 54–56]. Информация о феноменологическом формфакторе  $F$  для доминирующей компоненты  $\pi N$  может быть получена из данных по нейтронному спектру в процессе  $pp \rightarrow nX$ . Анализ экспериментального нейтронного спектра [57] в формализме СБИ с дипольным формфактором [56]

$$F = \left( \frac{\Lambda^2 + m_N^2}{\Lambda^2 + M_{\pi N}^2(x, \mathbf{k})} \right)^2 \quad (8)$$

дает  $\Lambda \approx 1.3$  ГэВ. Это значение также подтверждается данными по ПФР нуклона, так как оно позволяет описать нарушение правила сумм Готтфрида [41]. На рис. 1 показано  $x$ -распределение для  $\pi N$ -системы при этом значении  $\Lambda$ . Видно, что пик спектра приходится на  $x \approx 0.3$ . Для  $\rho$ -мезона пик спектра приходится на несколько большее значение  $x$  ( $x \approx 0.5$  [41]).

Поперечное распределение для состояния  $\pi N$  при  $x = 0.3$  показано на рис. 2. Это распределение дает для среднеквадратичного поперечного радиуса  $\pi N$ -компоненты значение  $\langle \rho_{\pi N}^2 \rangle^{1/2} \approx 0.87$  Фм.

Схема СБИ позволяет избежать трудностей с сохранением заряда и импульса, присутствующих в ранних анализах влияния мезонного облака на ГНР в ковариантной формулировке [58, 59]. Для формфактора  $F$ , зависящего от  $M_{MB}(x, \mathbf{k})$ , мезонное и барионное  $x$ -распределения физического нуклона удовлетворяют соотношению

$$f_{M/N}(x) = f_{B/N}(1-x), \quad (9)$$

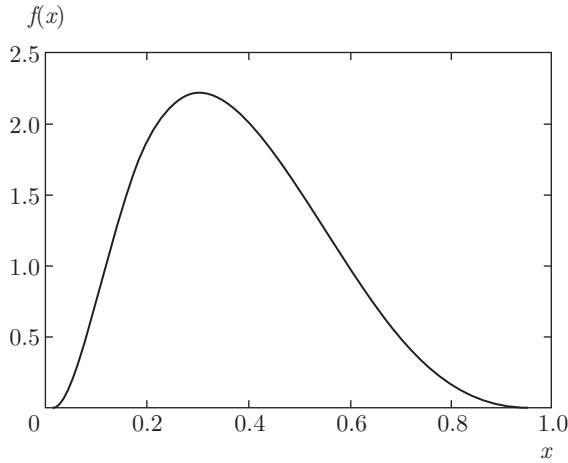


Рис. 1. Нормированное на единицу продольное распределение для компоненты Фока  $\pi N$ , полученное для дипольного формфактора (8) при  $\Lambda = 1.3$  ГэВ

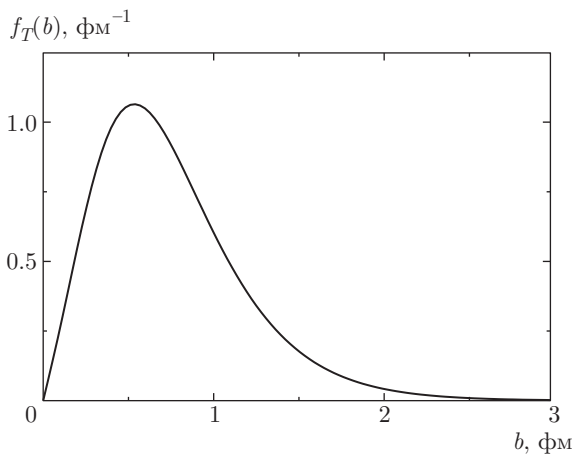


Рис. 2. Поперечное распределение для компоненты Фока  $\pi N$  в зависимости от  $b$  при  $x = 0.3$ , полученное для дипольного формфактора (8) при  $\Lambda = 1.3$  ГэВ и нормировке  $\int db f_T(b) = 1$

где

$$f_{M/N}(x) = \int d\mathbf{k} |\Psi(x, \mathbf{k})|^2, \quad (10)$$

и

$$f_{B/N}(x) = \int d\mathbf{k} |\Psi(1-x, \mathbf{k})|^2. \quad (11)$$

Соотношение симметрии (9) между функциями расщепления  $N \rightarrow M$  и  $N \rightarrow B$  не выполняется в ковариантном описании мезонного облака с феноменологическими формфакторами, зависящими от инвариантной переменной  $t$  [41, 55].

В ГНР мезон и барион в двухчастичных состояниях Фока выступают как независимые источники партонных распределений [41, 56]. Результаты

предыдущих анализов влияния мезонного облака на ГНР показывают, что для получения хорошей точности достаточно включить в разложение по фоковским состояниям (2) двухчастичные системы  $\pi N$ ,  $\pi \Delta$ ,  $\rho N$  и  $\rho \Delta$ . Суммарный вес этих четырех двухчастичных состояний составляет для физического нуклона около 40% [41]. В представлении (4) пренебрегается членами высших порядков от многочастичных систем. Количественный анализ [55] показывает, что влияние фоковских состояний высших порядков должно быть относительно малым для реалистических формфакторов. Мы полагаем, что мягкое неупругое  $NN$ -взаимодействие может быть описано как независимые неупругие взаимодействия голых мезонных и барионных составляющих сталкивающихся нуклонов. Специфический механизм неупругого взаимодействия голых составляющих не является важным<sup>2)</sup>. Поскольку кварковый состав голых  $\Delta$ -барионов и  $\rho$ -мезонов такой же, как и для голых  $N$ - и  $\pi$ -состояний, мы предполагаем, что с точки зрения неупругих взаимодействий, голая  $\Delta$ -изобара эквивалентна  $N$ , а  $\rho$ -мезон эквивалентен пиону. Тогда в модели поврежденных нуклонов каждый физический нуклон взаимодействует с вероятностью  $1 - n_{MB}$  как голое  $N$ -состояние и с вероятностью  $n_{MB}$  как двухчастичная  $\pi N$ -система. Поскольку пик доминирующего  $\pi N$ -состояния находится при  $x \approx 0.3$ , для простоты примем это значение  $x$  для относительного импульса мезона в эффективном  $MB$ -состоянии. Для поперечного пространственного распределения  $MB$ -состояния используем распределение для доминирующей  $\pi N$ -компоненты при  $x = 0.3$  (см. рис. 2). Мы перенормировали ее так, чтобы ее вес точно соответствовал суммарному весу  $n_{MB} = 0.4$  компонент  $\pi N$ ,  $\pi \Delta$ ,  $\rho N$  и  $\rho \Delta$  [41]. Заметим, что результаты МКГ-моделирования не очень чувствительны к величине  $\Lambda$ . Это происходит по причине отсутствия эффекта экранирования для неупругих взаимодействий мезонных и барионных составляющих.

<sup>2)</sup> Мы ограничиваемся вкладом лидирующего порядка по мезонным и барионным степеням свободы физического нуклона в СБИ. Конечно, каждый участник (мезон/барион) порождает свою собственную волновую функцию в СБИ на кварк-глюонном уровне, что важно с точки зрения неупругих взаимодействий составляющих частиц. Как это происходит, например, в модели IP-глазмы [5, 6]. В принципе, фоковские мезон-барионные состояния в волновой функции в СБИ более высокого порядка также могут давать вклад в неупругие взаимодействия состояний голых частиц. Заметим, однако, что в модели Глаубера поврежденных нуклонов эта сложная динамика заменяется простым феноменологическим рецептом генерации энтропии в неупругих столкновениях голых частиц (мезонов/барионов).

### 3. ФОРМУЛИРОВАНИЕ СХЕМЫ МКГ

Для двухкомпонентной модели нуклона (4) неупругое взаимодействие физических нуклонов из сталкивающихся объектов происходит в виде столкновений  $N+N$ ,  $N+MB$ ,  $MB+N$  и  $MB+MB$ . Мы предполагаем, что неупругие сечения рассеяния голых состояний подчиняются правилу кваркового счета

$$4\sigma_{in}^{NN} = 6\sigma_{in}^{MB} = 9\sigma_{in}^{MM}.$$

Для профиля вероятности неупругого столкновения  $ab$  по прицельному параметру мы используем гауссиан

$$P_{ab}(\rho) = \exp(-\pi\rho^2/\sigma_{in}^{ab}). \quad (12)$$

Мы подобрали величину параметра  $\sigma_{in}^{NN}$  так, чтобы воспроизвести экспериментальное неупругое  $pp$ -сечение рассеяния  $\sigma_{in}^{pp}$  (см. ниже).

Мы рассматриваем плотность зарядовой множественности  $dN_{ch}/d\eta$  для центральной области  $\eta = 0$  (иногда, для ясности, будем использовать для  $dN_{ch}/d\eta$  простое обозначение  $N_{ch}$ , считая, что зарядовая множественность определена в единичном окне псевдобыстроты  $|\eta| < 0.5$ ). Для вычисления вклада  $MB$ -компоненты в плотность множественности нам требуется знать  $dN_{ch}/d\eta$  для пион-нуклонных и пион-пионных столкновений. Прямые данные для пион-протонных и пион-пионных столкновений при энергиях RHIC и LHC отсутствуют. Поэтому мы используем предсказания кварк-глюонной струнной модели [60,61]. Вычисления в рамках этой модели показывают, что плотность зарядовой множественности частиц в центральной области быстрот в  $p\pi$ - и  $\pi\pi$ -столкновениях оказывается несколько большей, чем в  $pp$ -столкновениях. Из наших расчетов следует, что это малое превышение с хорошей точностью компенсирует возможное уменьшение зарядовой плотности в  $p\pi$ - в  $\pi\pi$ -взаимодействиях из-за несколько меньшей энергии в системе центра масс в нашей модели. Поэтому для простоты мы предполагаем, что все поврежденные голые частицы производят одинаковое количество энтропии на единицу быстроты в системе центра масс сталкивающихся объектов. Мы пренебрегаем влиянием малого (около 0.5) быстротного сдвига системы центра масс для пар с различными энергиями (например, для  $\pi N$ -взаимодействий) на быстротную плотность энтропии, поскольку плотность зарядовой множественности при средней быстройте является почти плоской.

Общая быстротная плотность энтропии файерболла для  $AB$ -столкновения представляет собой сум-

му вкладов источников, соответствующих поврежденным участникам, и бинарным столкновениям участников:

$$\frac{dS}{dy} = \sum_{i=1}^{N_w} \frac{dS_w^i}{dy} + \sum_{i=1}^{N_{bin}} \frac{dS_{bin}^i}{dy}, \quad (13)$$

где

$$\frac{dS_w^i}{dy} = \frac{1-\alpha}{2} S \quad (14)$$

— вклад индивидуального источника от поврежденных участников в системах  $A$  и  $B$  и

$$\frac{dS_{bin}^i}{dy} = S \quad (15)$$

— вклад индивидуального бинарного столкновения. При МКГ-моделировании мы считаем, что для каждой пары поврежденных частиц вероятность жесткого бинарного столкновения есть  $\alpha$ . Как это обычно принято для МКГ-схем, чтобы смоделировать флуктуации плотности множественности в  $pp$ -столкновениях, мы рассматриваем величину  $S$  в соотношениях (14), (15) как случайную переменную. Предполагаем, что эволюция файерболла является изоэнтропической. При изоэнтропическом расширении начальная быстротная плотность энтропии пропорциональна конечной псевдобыстротной плотности зарядовой множественности,

$$dS/dy = C \frac{dN_{ch}}{d\eta}, \quad (16)$$

где  $C \approx 7.67$  [62]. В этом приближении мы можем непосредственно работать с псевдобыстротной плотностью  $dN_{ch}/d\eta$  заряженных частиц. Поэтому будем рассматривать каждый флуктуирующий источник энтропии, как источник, производящий флуктуирующее количество заряженных частиц  $n = S/C$  в единичном интервале псевдобыстроты  $|\eta| < 0.5$ . Мы описываем флуктуации  $n$  для каждого источника гамма-распределением

$$\Gamma(n, \langle n \rangle) = \left( \frac{n}{\langle n \rangle} \right)^{\kappa-1} \frac{\kappa^\kappa \exp[-n\kappa/\langle n \rangle]}{\langle n \rangle \Gamma(\kappa)}, \quad (17)$$

широко используемым в МКГ-моделировании. Мы подобрали параметры  $\langle n \rangle$  и  $\kappa$  так, чтобы добиться соответствия с экспериментальными  $pp$ -данными по средней зарядовой плотности и ее разбросу в единичном окне псевдобыстроты  $|\eta| < 0.5$  (см. ниже). Наши вычисления показывают, что для  $AA$ -столкновений результаты для гамма-распределения очень похожи на результаты для отрицательного биномиального распределения.

При сравнении с экспериментальными данными мы, как обычно, определяем центральность  $c$  в  $AA$ -столкновениях, используя теоретическое распределение зарядовой плотности  $P$  [63]:

$$c(N_{ch}) = \sum_{N=N_{ch}}^{\infty} P(N). \quad (18)$$

Здесь  $N_{ch}$  — теоретическая зарядовая плотность для  $|\eta| < 0.5$ , т.е.  $dN_{ch}/d\eta$  в нашем МКГ-моделировании. Для вычисления зависимости множественности заряженных частиц от центральности распределение быстрой плотности энтропии по поперечным координатам несущественно. Однако пространственное распределение произведенной энтропии существенно для таких геометрических величин, как начальные коэффициенты анизотропии  $\epsilon_n$  фибрбола. В терминах пространственного распределения энтропии, которое мы обозначаем  $\rho_s = dS/dy d\rho$ , коэффициенты  $\epsilon_n$  выглядят так [64, 65]:

$$\epsilon_n = \frac{\left| \int d\rho \rho^n e^{in\phi} \rho_s(\rho) \right|}{\int d\rho \rho^n \rho_s(\rho)} \quad (19)$$

(здесь предполагается, что поперечные векторы  $\rho$  вычислены в поперечной системе центра масс, т.е.  $\int d\rho \rho \rho_s(\rho) = 0$ ). Для точечных источников получаем

$$\rho_s(\rho) = \sum_{i=1}^{N_w} \delta(\rho - \rho_i) \frac{dS_w^i}{dy} + \sum_{i=1}^{N_{bin}} \delta(\rho - \rho_i) \frac{dS_{bin}^i}{dy}. \quad (20)$$

Как обычно, предполагаем, что для поврежденных участников центры источников находятся в местах расположения поврежденных частиц, а для каждого бинарного столкновения источник находится посередине между сталкивающимися частицами. Конечно, приближение точечных источников физически совершенно неприемлемо. Учтем качественно конечный размер источников, заменяя  $\delta$ -функции в уравнении (20) распределением Гаусса

$$\exp(-\rho^2/\sigma^2)/\pi\sigma^2, \quad (21)$$

и выполним вычисления для  $\sigma = 0.7$  Фм и  $\sigma = 0.4$  Фм. Результаты для коэффициентов анизотропии в  $AA$ -столкновениях становятся чувствительными к ширине размытия источников только для самых периферийных столкновений, однако для фибрболов малого размера в  $pA$ - и  $pp$ -столкновениях величина  $\sigma$  является весьма существенной (см. ниже).

Выполним вычисления для ядерного распределения Вудса–Саксона и примем во внимание деформацию ядер  $^{197}\text{Au}$  и  $^{238}\text{U}$ . Для этих ядер используем  $\theta$ -зависимую ядерную плотность Вудса–Саксона

$$\rho_A(r, \theta) = \frac{\rho_0}{1 + \exp[(r - R_A(\theta))/a]}, \quad (22)$$

$$R_A(\theta) = R[1 + \beta_2 Y_{20}(\theta) + \beta_4 Y_{40}(\theta)], \quad (23)$$

где  $Y_{20}$  и  $Y_{40}$  — сферические гармоники. Следуя работе [25], возьмем  $R = 6.37(6.8)$  Фм,  $\beta_2 = -0.13(0.28)$  и  $\beta_4 = -0.03(0.093)$  для ядер  $\text{Au(U)}$  и  $a = 0.54$  Фм. Для ядра  $^{207}\text{Pb}$  используем обычную сферически-симметричную формулу Вудса–Саксона с  $\theta$ -независимым ( $\beta_{02} = \beta_{04} = 0$ ) радиусом  $R_A = (1.12A^{1/3} - 0.86/A^{1/3}) = 6.49$  Фм и  $a = 0.54$  Фм [25].

## 4. ЧИСЛЕННЫЕ РЕЗУЛЬТАТЫ

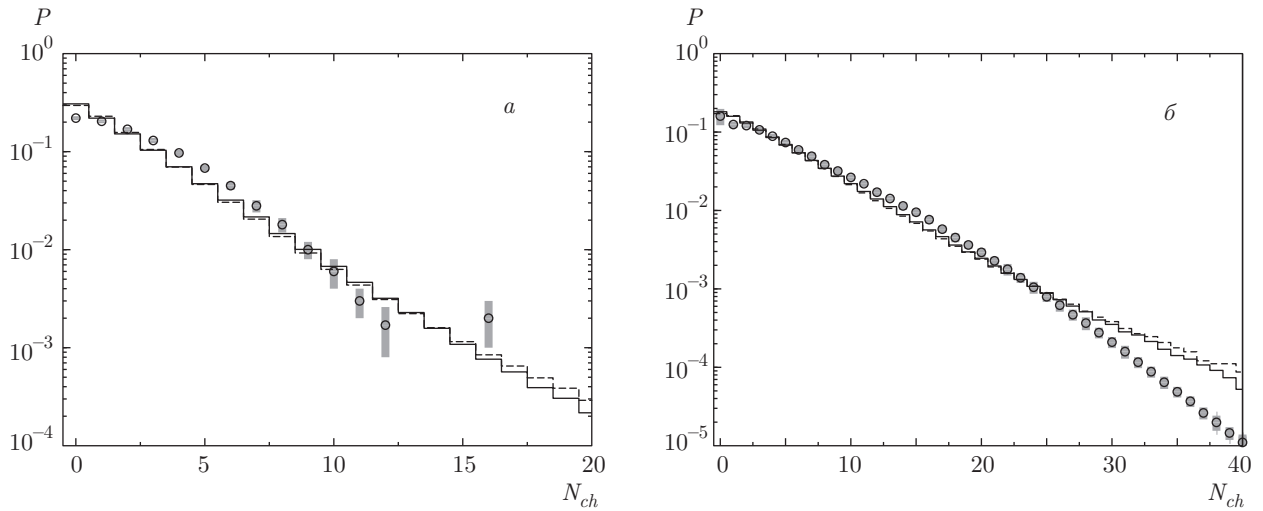
### 4.1. Параметры модели для $pp$ -столкновений

В численных расчетах для  $pp$ -столкновений возьмем значение  $n_{pp} = 2.65$  при  $\sqrt{s} = 0.2$  ТэВ, полученное коллаборацией UA1 [66] для событий без вклада однократной дифракции (non-single-diffractive (NSD)).

Для NSD  $pp$ -событий при  $\sqrt{s} = 2.76$  ТэВ воспользуемся результатом коллаборации ALICE:  $n_{pp} \approx 4.63$  [67]. При МКГ-моделировании для  $\sigma_{in}^{pp}$  мы также используем неупругое  $pp$ -сечение рассеяния, соответствующее событиям NSD-класса. Исключение дифракционного вклада представляется вполне разумным, поскольку дифракционные события не дают вклада в плотность зарядовой множественности в центральной области быстрой, рассматриваемой в настоящей работе. Мы используем для NSD-сечения неупругого  $pp$ -рассеяния при  $\sqrt{s} = 0.2$  ТэВ значение 35 мб, измеренное коллаборацией UA1 [66], а для  $\sqrt{s} = 2.76$  ТэВ — значение 50.24 мб, полученное коллаборацией ALICE [68]. Для этих значений NSD  $\sigma_{in}^{pp}$  мы выбрали сечение  $\sigma_{in}^{NN}$  для голых нуклонов, необходимое для МКГ-моделирования в версии с  $MB$ -компонентой Фока. Для этой версии получаем

$$\sigma_{in}^{NN} [\sqrt{s} = 0.2, 2.76 \text{ ТэВ}] \approx [26.15, 38.4] \text{ мб}. \quad (24)$$

В версии без мезонного облака параметр  $\sigma_{in}^{NN}$  равен просто экспериментальному NSD  $pp$ -сечению. Мы выбрали параметры  $\langle n \rangle$  и  $\kappa$  гамма-распределения (17) так, чтобы воспроизвести среднее экспериментальное значение  $N_{ch}$  в  $pp$ -столкновениях и удов-



**Рис. 3.** Распределения зарядовой множественности в  $pp$ -столкновениях для окна псевдобыстроты  $|\eta| < 0.5$ :  $a$  — МКГ-моделирование для  $\sqrt{s} = 0.2$  ТэВ в сценарии с мезонным облаком для  $\alpha = 0.06$  (сплошная линия) и без мезонного облака для  $\alpha = 0.135$  (штриховая); данные коллаборации UA5 [69] (точки);  $b$  — МКГ-моделирование для  $\sqrt{s} = 2.76$  ТэВ в сценарии с мезонным облаком при  $\alpha = 0.09$  (сплошная линия) и без мезонного облака при  $\alpha = 0.14$  (штриховая); данные коллаборации ALICE [67] (точки)

летворить соотношению  $N_{ch}/D = 1$  ( $D^2$  — дисперсия  $N_{ch}$ ) в окне псевдобыстроты  $|\eta| < 0.5$ , что соответствует экспериментальным данным по распределению множественности как при  $\sqrt{s} = 0.2$  ТэВ [66], так и при  $\sqrt{s} = 2.76$  ТэВ [67]. В сценарии без мезонного облака параметр  $\langle n \rangle$  должен равняться экспериментальному значению  $dN_{ch}/d\eta$  для любой доли  $\alpha$  бинарных столкновений. Но величина параметра  $\kappa$  зависит от  $\alpha$ . При  $\alpha = 0$  соотношение  $N_{ch}/D = 1$  дает  $\kappa = 0.5$ . При  $\alpha > 0$  величина  $\kappa$  слабо растет с ростом  $\alpha$ , однако отклонение от 0.5 относительно мало. В сценарии с  $MB$ -компонентой значение  $\kappa$  также близко к 0.5, а требуемое значение  $\langle n \rangle$  меньше экспериментального среднего значения  $N_{ch}$ .

Чтобы определить значения параметра  $\alpha$ , мы применили двухэтапную процедуру. Сначала подогнали параметры  $\langle n \rangle$  и  $\kappa$  к  $pp$ -данным по  $N_{ch}$ , накладывая условие  $N_{ch}/D = 1$  для большого набора значений  $\alpha$  от 0 до 0.2. На втором шаге мы использовали полученный набор  $\langle n \rangle$  и  $\kappa$  для подгонки параметра  $\alpha$  так, чтобы наилучшим образом воспроизвести данные по зависимости  $dN_{ch}/d\eta$  в центральной области быстрот от центральности в столкновениях Au+Au при  $\sqrt{s} = 0.2$  ТэВ для данных коллаборации STAR [27] и в столкновениях Pb+Pb при  $\sqrt{s} = 2.76$  ТэВ для данных коллаборации ALICE [52]. Для столкновений Au+Au при  $\sqrt{s} = 0.2$  ТэВ эта процедура дает  $\alpha \approx 0.06$  и  $\alpha \approx 0.135$  в сценариях соответственно с мезонным облаком и без

него. Из данных ALICE по столкновениям Pb+Pb при  $\sqrt{s} = 2.76$  ТэВ [52] мы получили  $\alpha \approx 0.09$  и  $\alpha \approx 0.14$  для сценариев соответственно с мезонным облаком и без него. Для сценария с мезонным облаком из подгонки по  $pp$ -данным для указанных выше оптимальных значений  $\alpha$  для значения параметров гамма-распределения (17) мы получили

$$\langle n \rangle[\sqrt{s} = 0.2, 2.76 \text{ ТэВ}] \approx [2.39, 4.13], \quad (25)$$

$$\kappa[\sqrt{s} = 0.2, 2.76 \text{ ТэВ}] \approx [0.506, 0.52]. \quad (26)$$

Для сценария без мезонного облака при оптимальных значениях  $\alpha$  имеем

$$\kappa[\sqrt{s} = 0.2, 2.76 \text{ ТэВ}] \approx [0.57, 0.57] \quad (27)$$

(как было сказано выше, величина  $\langle n \rangle$  равна экспериментальному значению  $n_{pp}$ ). Как можно было бы ожидать, мезонное облако приводит к уменьшению требуемой доли бинарных столкновений. При энергиях ЛНС этот эффект становится несколько меньше, что естественно, поскольку радиус взаимодействия при таких энергиях возрастает. Это приводит к понижению чувствительности к внутренней структуре нуклона.

На рис. 3 мы сопоставляем распределение множественности заряженных адронов для версий с мезонным облаком и без него для  $|\eta| < 0.5$  в  $pp$ -столкновениях при  $\sqrt{s} = 0.2$  ТэВ и при  $\sqrt{s} = 2.76$  ТэВ с экспериментальными данными коллабораций UA5

[69] и ALICE [67]. Видно, что для обеих версий согласие с данными хорошее в области  $N_{ch} \lesssim 5\langle N_{ch} \rangle$ . Заметим, однако, что распределения множественности в АА-столкновениях не очень чувствительны к специфической форме распределения множественности в  $pp$ -столкновениях, за исключением области самых периферийных столкновений, где число поврежденных нуклонов становится малым. В любом случае хвост распределения зарядовой множественности с  $N_{ch} \gg \langle N_{ch} \rangle$  практически не влияет на теоретические предсказания для АА-столкновений.

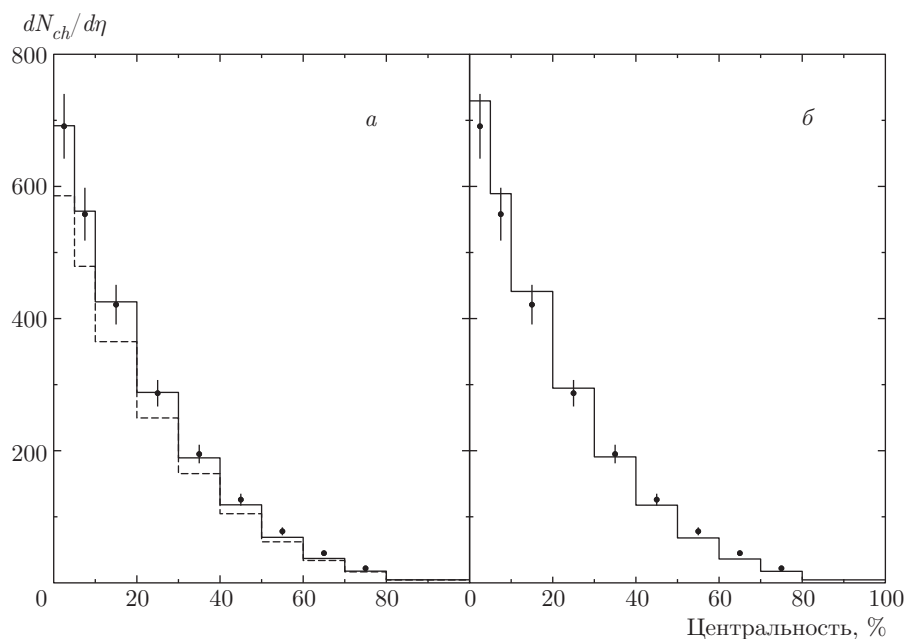
#### 4.2. АА-столкновения: плотность зарядовой множественности

На рис. 4 и 5 мы сравниваем наши результаты для зависимости плотности зарядовой множественности  $dN_{ch}/d\eta$  при  $\eta = 0$  от центральности для подогнанных значений  $\alpha$  с данными STAR по столкновениям Au+Au при  $\sqrt{s} = 0.2$  ТэВ [27] и с данными ALICE по столкновениям Pb+Pb при  $\sqrt{s} = 2.76$  ТэВ [52]. Теоретические гистограммы были получены методом Монте-Карло при генерации выборок с количеством событий около  $2 \cdot 10^6$ . Как было отмечено ранее, наши параметры гамма-распределения (17) и определение центральности для АА-столкновений (18) отвечают единичному окну псевдобыстроты  $|\eta| < 0.5$ . Категоризация центральности в данных STAR [27] и ALICE [52] выполнена также посредством зарядовой множественности при  $|\eta| < 0.5$ . Однако, в принципе, для столкновений тяжелых ядер это не очень существенно, поскольку влияние флуктуаций множественности при заданном прицельном параметре столкновения (за исключением самых периферийных) на категоризацию центральности мало [63]. Чтобы лучше проиллюстрировать величину эффекта мезонного облака, на рис. 4а и 5а мы показали результаты для сценария без мезонного облака, но полученные с оптимальным значением  $\alpha$  для сценария с мезонным облаком. Сопоставление этих двух гистограмм показывает, что при малой центральности мезонное облако увеличивает множественность на 16–18%. Поскольку наши вычисления не предполагают какого-либо механизма производства энтропии в столкновениях голых барионных и мезонных состояний, можно ожидать, что  $MB$ -компоненты Фока в волновой функции нуклона должны увеличивать множественность в АА-столкновениях в любой схеме.

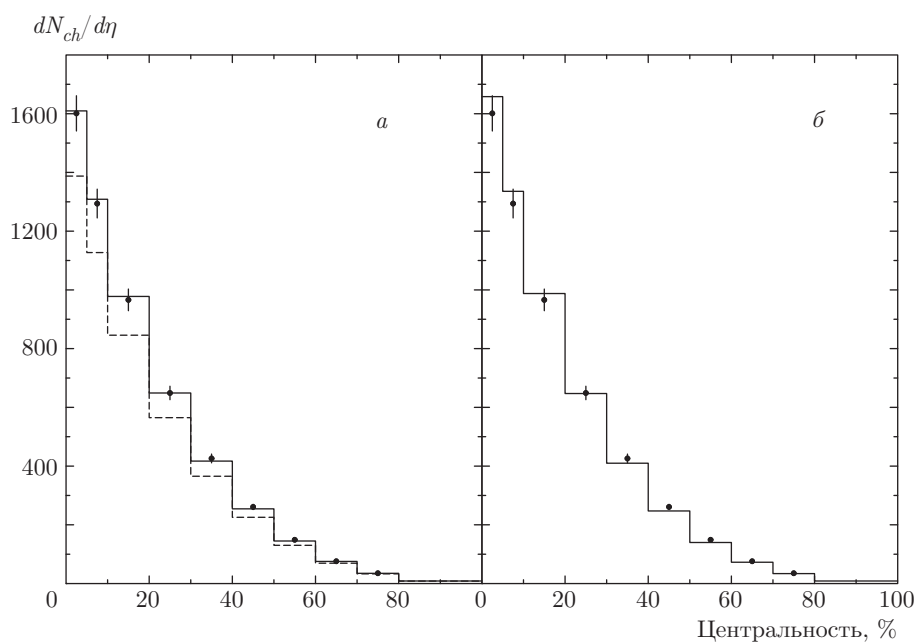
В экспериментах предстоящего второго этапа эксплуатации ЛНС столкновения Pb+Pb будут изучаться при  $\sqrt{s} = 5.02$  ТэВ. Для того чтобы дать тео-

ретические предсказания для столкновений Pb+Pb при этой энергии, мы использовали такие же значения параметра  $\alpha$ , как и для  $\sqrt{s} = 2.76$  ТэВ. Поскольку величина  $\alpha$  не сильно меняется в диапазоне от  $\sqrt{s} = 0.2$  ТэВ до  $\sqrt{s} = 2.76$  ТэВ, можно ожидать что изменение  $\alpha$  в диапазоне от  $\sqrt{s} = 2.76$  ТэВ до  $\sqrt{s} = 5.02$  ТэВ будет незначительным. Прямые  $pp$ -данные по  $dN_{ch}/d\eta$  при  $\sqrt{s} = 5.02$  ТэВ отсутствуют. Мы воспользовались степенной интерполяцией  $dN_{ch}/d\eta \propto s^\delta$  между данными ALICE [67] при  $\sqrt{s} = 2.76$  ТэВ ( $dN_{ch}/d\eta \approx 4.63$ ) и при  $\sqrt{s} = 7$  ТэВ ( $dN_{ch}/d\eta = 5.74 \pm 0.15$ ). Это дает  $dN_{ch}/d\eta \approx 5.35$  при  $\sqrt{s} = 5.02$  ТэВ. Для NSD-сечения неупругого  $pp$ -рассеяния при  $\sqrt{s} = 5.02$  ТэВ мы используем значение 55.44 мб, полученное при интерполяции между данными ALICE [68] при  $\sqrt{s} = 2.76$  и  $\sqrt{s} = 7$  ТэВ. Используя приведенное выше NSD  $\sigma_{in}^{pp}$ , мы подогнали параметр  $\sigma_{in}^{NN}$  в сценарии с мезонным облаком для  $\alpha = 0.09$ . Мы получили  $\sigma_{in}^{NN}(\sqrt{s} = 5.02 \text{ ТэВ}) \approx 42.49$  мб (как и в анализе при  $\sqrt{s} = 2.76$  ТэВ в сценарии без мезонного облака  $\sigma_{in}^{NN}$  равно NSD  $pp$ -сечению). Как и выше, параметры гамма-распределения  $\langle n \rangle$  и  $\kappa$  (17) были подогнаны так, чтобы воспроизвести экспериментальное значение  $n_{pp}$  и удовлетворить соотношению  $n_{pp}/D = 1$ . Без мезонного облака значение  $\langle n \rangle$  просто равняется интерполяции экспериментальной величины  $dN_{ch}/d\eta$  между  $\sqrt{s} = 2.76$  и  $\sqrt{s} = 7$  ТэВ, а подгонка  $\kappa$  для  $\alpha = 0.14$  дает  $\kappa = 0.564$ . Для сценария с мезонным облаком мы получили  $\langle n \rangle \approx 4.72$  и  $\kappa \approx 0.52$ . На рис. 6 приведено сравнение наших результатов для зависимости зарядовой множественности от центральности в соударениях Pb+Pb при  $\sqrt{s} = 5.02$  ТэВ и при  $\sqrt{s} = 2.76$  ТэВ. На рис. 6 можно видеть, что по сравнению со случаем  $\sqrt{s} = 2.76$  рост  $dN_{ch}/d\eta$  в центральных столкновениях Pb+Pb при  $\sqrt{s} = 5.02$  ТэВ составляет около 20%. Это соответствует увеличению начальной температуры файерболла примерно на 6%.

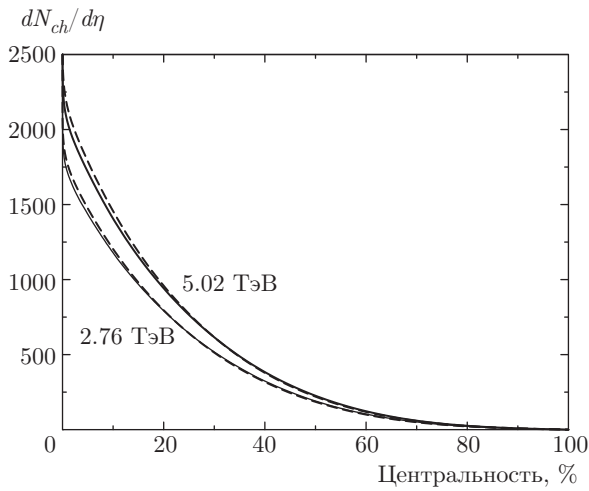
Как было отмечено, в схеме с мезонным облаком вклад мягких процессов в плотность множественности не является пропорциональным числу поврежденных нуклонов, поскольку вероятность неупругих взаимодействий мезонных состояний зависит от центральности. Чтобы проиллюстрировать зависимость от центральности вклада каждого поврежденного нуклона, связанного с  $MB$ -компонентой, на рис. 7 мы приводим отношение  $(dN_{ch}/d\eta)/N_w$  как функцию от  $N_w$ , полученное при наличии  $MB$ -компоненты и без нее, при одинаковых  $\alpha$  ( $\alpha = 0.06$  для столкновений Au+Au при  $\sqrt{s} = 0.2$  ТэВ и  $\alpha = 0.09$  для столкновений Pb+Pb при  $\sqrt{s} = 2.76$  ТэВ). Вид-



**Рис. 4.** Зависимости  $dN_{ch}/d\eta$  от центральности при  $\eta = 0$  для столкновений Au+Au при  $\sqrt{s} = 0.2$  ТэВ; *a* — МКГ-моделирование для сценариев с мезонным облаком (сплошная линия) и без него (точки) при  $\alpha = 0.06$ ; *б* — МКГ-моделирование для сценария без мезонного облака при  $\alpha = 0.135$ . Данные STAR [27] — точки



**Рис. 5.** Зависимости  $dN_{ch}/d\eta$  от центральности для столкновений Pb+Pb при  $\sqrt{s} = 2.76$  ТэВ: *a* — МКГ-моделирование для сценариев с мезонным облаком (сплошная линия) и без него (точки) при  $\alpha = 0.09$ ; *б* — МКГ-моделирование для сценария без мезонного облака при  $\alpha = 0.14$ . Данные ALICE [52] — точки



**Рис. 6.** Сравнение зависимости  $dN_{ch}/d\eta$  от центральности при  $\eta = 0$  для столкновений Pb+Pb при  $\sqrt{s} = 2.76$  ТэВ и  $\sqrt{s} = 5.02$  ТэВ, полученное из МКГ-моделирования для сценариев с мезонным облаком (сплошная линия) при  $\alpha = 0.09$  и без него (штриховая) при  $\alpha = 0.14$

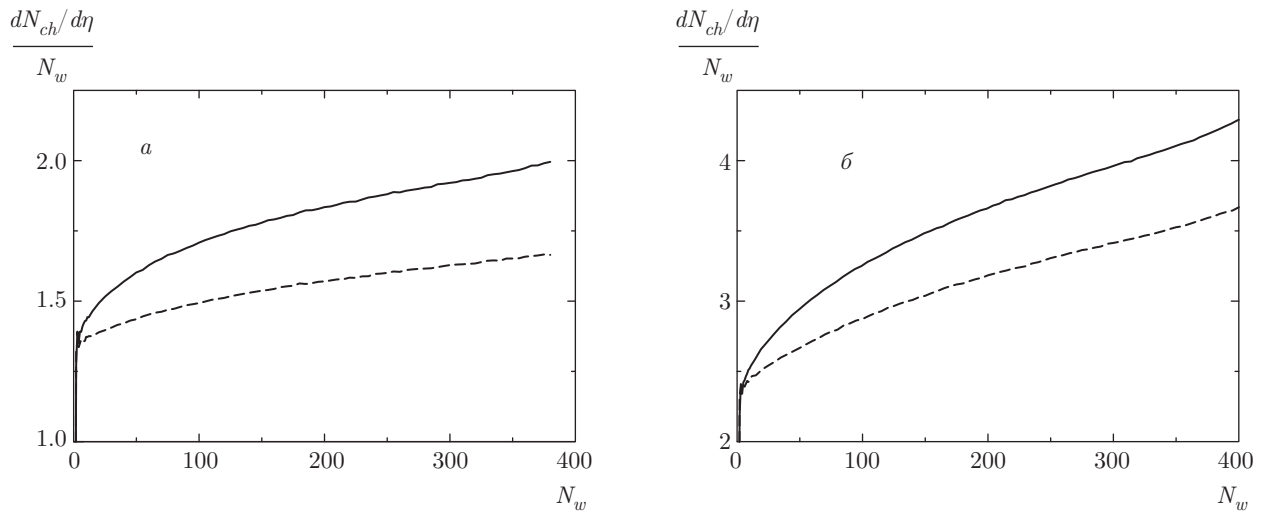
но, что от периферийных до центральных столкновений это отношение возрастает примерно на 20% и на 15% соответственно в условиях RHIC и LHC.

#### 4.3. АА-столкновения: азимутальная эксцентрисичность файерболла

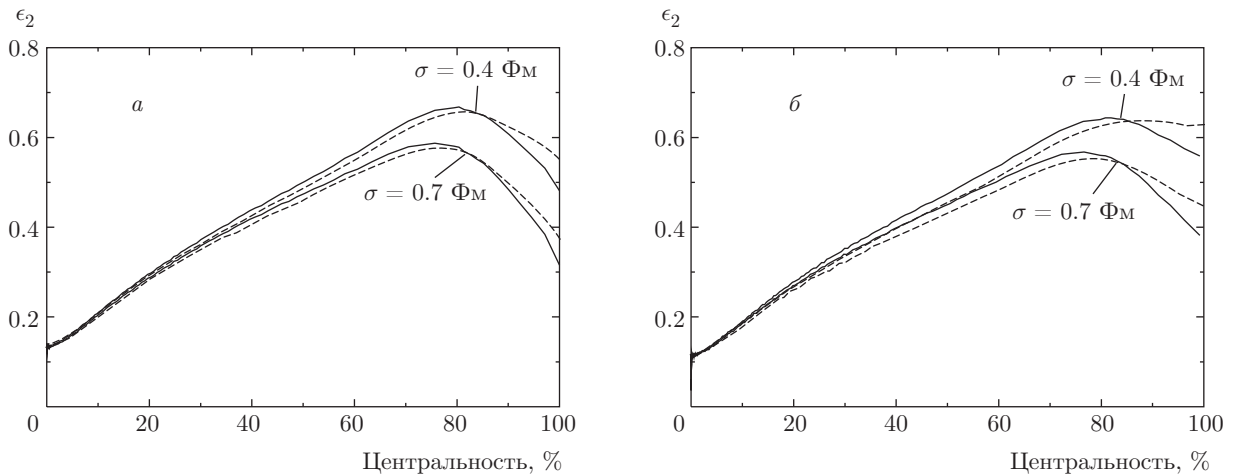
Мы также изучили влияние  $MB$ -компоненты на среднеквадратичный коэффициент анизотропии  $\epsilon_2$  (который часто обозначают  $\epsilon_2\{2\}$ ). На рис. 8 мы представляем результаты для зависимости этой величины  $\epsilon_2$  от центральности для столкновений Au+Au при  $\sqrt{s} = 0.2$  ТэВ и столкновений Pb+Pb при  $\sqrt{s} = 2.76$  ТэВ для двух моделей. Мы представляем результаты для двух значений гауссовой ширины источников,  $\sigma = 0.7$  Фм и  $\sigma = 0.4$  Фм. Видно, что при малой центральности результаты с мезонным облаком и без него близки. Для нецентральных столкновений с центральностью  $\lesssim 80\%$  версия с мезонным облаком дает несколько большее значение  $\epsilon_2$ . Но для самых периферийных столкновений с центральностью  $\gtrsim 80\%$  анизотропность в модели с мезонным облаком становится больше, чем в модели без мезонного облака. Зависимость асимметрии от  $\sigma$  является относительно слабой, за исключением области большой центральности ( $\gtrsim 60\text{--}70\%$ ), где типичное количество источников мало и результаты становятся чувствительными к форме распределения энтропии в индивидуальных  $NN$ -столкновениях. Конечно, в этой облас-

ти результаты сильно зависят от модели и не являются надежными. Таким образом, мы видим, что влияние мезонного облака на эксцентрисичность  $\epsilon_2$  в АА-столкновениях относительно мало.

В последнее время значительное внимание уделялось зависимости эксцентрисичности  $\epsilon_2$  от центральности/множественности для столкновений U+U [30–33] в связи с ожидаемой чувствительностью множественности к ориентации сталкивающихся ядер, связанной с вытянутой формой ядра  $^{238}\text{U}$ . В работах [30, 31] было предсказано, что в столкновениях U+U начальная асимметрия  $\epsilon_2$  должна иметь подобную плечевую структуру при множественностях, входящих в топ-1% центральных столкновений U+U (плечевидная структура была также обнаружена в недавнем МКГ-моделировании [33]). Это можно интерпретировать как следствие роста относительного вклада бинарных столкновений для продольно-продольных конфигураций сталкивающихся ядер при ненулевом коэффициенте  $\alpha$  при пропорциональном  $N_{coll}$  члене в МКГ-схеме. Однако эллиптический поток  $v_2$ , измеренный STAR [29] в столкновениях U+U при  $\sqrt{s} = 193$  ГэВ, не подтверждает наличия такой плечевидной структуры. Это поставило под сомнение саму двухкомпонентную модель Глаубера с значительным вкладом бинарных столкновений и стимулировало поиски альтернативного подхода к производству энтропии в картине Глаубера [32, 33]. Но стоит заметить, что теоретическая ситуация с наличием плеча в структуре  $\epsilon_2$  для стандартной двухкомпонентной МКГ-модели по-прежнему является отчасти противоречивой. В самом деле, анализ в работе [30] был выполнен без учета флуктуаций множественности в  $NN$ -столкновениях. В то же время в работах [31, 33] флуктуации зарядовой множественности в  $NN$ -столкновениях учитывались. Однако позднее [70] было показано, что подобная плечевая структура исчезает, когда флуктуации учтены, что противоречит анализам работ [31, 33]. С другой стороны, более поздний анализ [71] указывает на появление слабого признака плеча, даже когда флуктуации множественности  $NN$  учитываются. На рис. 9а показаны наши результаты для зависимости  $\epsilon_2$  от центральности в столкновениях U+U при  $\sqrt{s} = 0.2$  ТэВ для ширины источника  $\sigma = 0.7$  Фм. Чтобы растянуть область малых центральностей, использован логарифмический масштаб. Видно, что предсказания для среднеквадратичного значения  $\epsilon_2$  в области центральности  $0.01 \lesssim c \lesssim 1\%$  для версий с  $MB$ -компонентой и без нее очень похожи. В этой области  $\epsilon_2$  очень плавно уменьша-



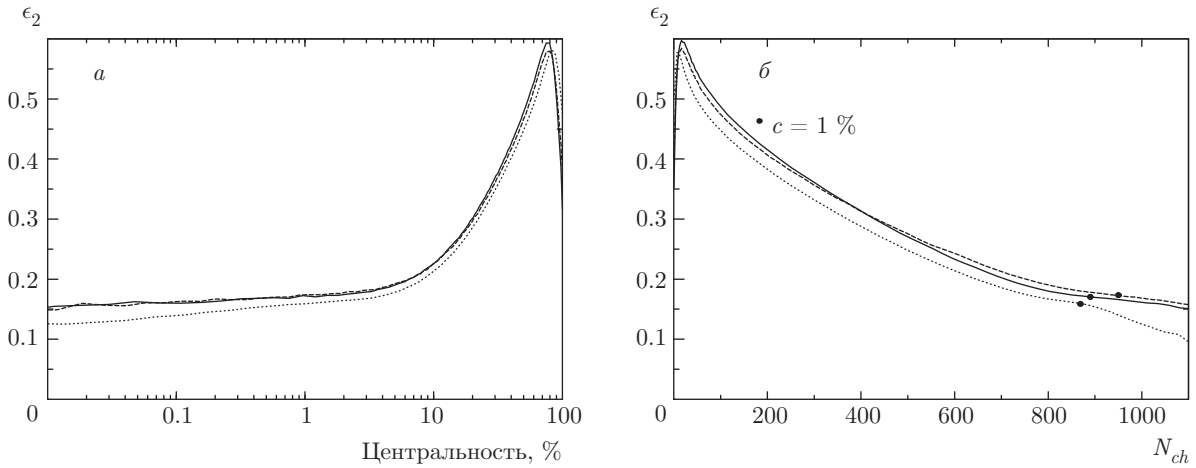
**Рис. 7.** Отношение  $(dN_{ch}/d\eta)/N_w$  в зависимости от числа  $N_w$  поврежденных нуклонов: *a* — МКГ-моделирование для столкновений Au+Au при  $\sqrt{s} = 0.2$  ТэВ для сценариев с мезонным облаком (сплошная линия) и без него (пунктир) при  $\alpha = 0.06$ ; *б* — МКГ-моделирование для столкновений Pb+Pb при  $\sqrt{s} = 2.76$  ТэВ для сценариев с мезонным облаком (сплошная линия) и без него (штриховая) при  $\alpha = 0.09$



**Рис. 8.** Зависимости среднеквадратичного коэффициента асимметрии  $\epsilon_2$  от центральности для гауссова распределения источника (21) для  $\sigma = 0.7, 0.4 \Phi_M$ : *a* — МКГ-моделирование для столкновений Au+Au при  $\sqrt{s} = 0.2$  ТэВ для сценариев с мезонным облаком при  $\alpha = 0.06$  (сплошная линия) и без него при  $\alpha = 0.135$  (штриховая); *б* — МКГ-моделирование для столкновений Pb+Pb при  $\sqrt{s} = 2.76$  ТэВ для сценариев с мезонным облаком (сплошная линия) при  $\alpha = 0.09$  и без него (штриховая) при  $\alpha = 0.14$

ется с уменьшением  $s$  и не имеет подобной плечу структуры. На рис. 9а также приведены предсказания МКГ-моделирования без мезонного облака, полученные без флуктуаций множественности в  $pp$ -столкновениях. В этом случае эллиптичность имеет слабую плечевидную структуру при  $s \sim 1\%$ . Плечо для этой версии лучше видно на рис. 9б, на котором показана зависимость  $\epsilon_2(N_{ch})$ . Чтобы уменьшить статистические флуктуации, кривые

на рис. 9 были получены усреднением  $\epsilon_2$  в интервалах шириной  $\Delta N_{ch} \sim 20$ . Для двух версий (с  $MB$ -компонентой и без нее) с флуктуирующими источниками плечевидная структура на рис. 9б отсутствует. Таким образом, мы подтверждаем вывод, сделанный в работе [70], что в стандартной МКГ-схеме поврежденных нуклонов (без  $MB$ -компоненты) флуктуации разрушают плечевидную структуру в  $\epsilon_2$ . Это предсказание находится в



**Рис. 9.** Зависимости среднеквадратичного значения  $\epsilon_2$  от центральности (а) и от  $N_{ch}$  (б) для столкновений U+U при  $\sqrt{s} = 0.2$  ТэВ, полученные для гауссова распределения источника (21) при  $\sigma = 0.7$  Фм: сплошные линии — МКГ-моделирование для сценария с мезонным облаком при  $\alpha = 0.06$ ; штриховые — МКГ-моделирование для сценария без мезонного облака при  $\alpha = 0.135$ ; пунктирные — МКГ-моделирование для сценария без мезонного облака при  $\alpha = 0.135$  без флуктуаций зарядовой множественности в  $NN$ -столкновениях при  $n_{pp} = 2.65$ . Большими точками обозначены позиции, соответствующие  $c = 1\%$

противоречии с результатами работ [31, 33], где плечо было обнаружено. На рис. 9а видно, что при малой центральности величина  $\epsilon_2$  без флуктуаций множественности в  $pp$ -столкновениях становится меньше на 20–10%. Это уменьшение существенно больше, чем разница между двумя нашими версиями с флуктуирующими источниками. Отметим, что при  $c \sim 0.01\text{--}1\%$  отношение предсказанного нами значения  $\epsilon_2$  к потоковому коэффициенту  $v_2$ , измеренному коллаборацией STAR составляет примерно 6–6.25. Это качественно согласуется с отношением  $\epsilon_2/v_2$ , полученным при гидродинамическом моделировании [72, 73].

Интересным способом исследования механизма производства энтропии в  $AA$ -столкновениях и формы начального файерболла плазмы в столкновениях несферических ядер является использование для категоризации центральности сигналов калориметров нулевого угла (zero-degree calorimeters (ZDCs)) [74], которые детектируют нейтроны-спекторы. Отбор событий с очень низкими ZDC-сигналами означает выбор почти полностью перекрывающихся столкновений с высокой множественностью и очень малым числом нейтронов-спекторов [29, 75]. Коллаборация STAR [29] измерила зависимость потокового коэффициента  $v_2$  от множественности для топ-1% и 0.1% наиболее центральных событий, отобранных по малости ZDC-сигналов в столкновениях U+U при  $\sqrt{s} = 193$  ГэВ и в столкновениях Au+Au

при  $\sqrt{s} = 200$  ГэВ. В МКГ-модели поврежденных нуклонов сигнал ZDC обычно имитируется посредством числа нуклонов-спекторов  $N_s = 2A - N_w$  [71, 75]. Однако эквивалентность категоризации центральности, полученной посредством экспериментально измеренной активности ZDC и посредством  $N_s$  в МКГ-моделировании, никоим образом не очевидна. Это связано с физически совершенно очевидным фактом, что динамическая эволюция адронных систем в областях фрагментации ядер после  $AA$ -столкновения является сложным процессом, который может включать взаимодействие поврежденных и неповрежденных нуклонов. Эти взаимодействия в конечных состояниях, которые полностью игнорируются в схеме Глаубера, могут уменьшать число нейтронов, которые могли бы достигнуть ZDCs. По этой причине возможность моделировать отбор событий по ZDC-сигналам в терминах  $N_s$  в МКГ-моделировании следует рассматривать скорее как рабочую гипотезу, которая заслуживает детального изучения в будущем.

В настоящей работе мы игнорируем возможные динамические эффекты в областях фрагментации ядер и, следуя предыдущим работам [32, 71], принимаем, что  $N_s$ -категоризация воспроизводит категоризацию через ZDC-сигналы. В терминах  $N_s$  центральность определяется как

$$c_s(N_s) = \sum_{N=0}^{N_s} P_s(N), \tag{28}$$

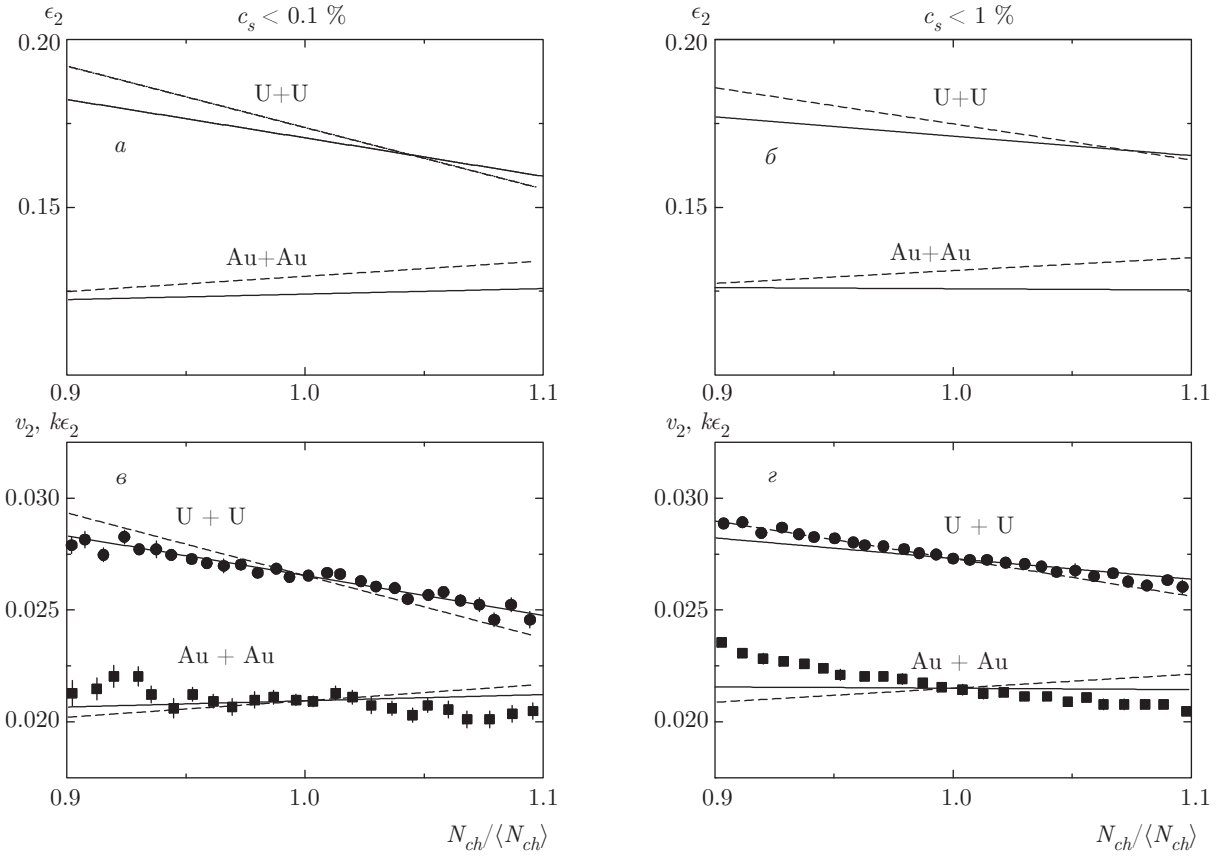
где  $P_s(N)$  — распределение вероятности по  $N_s$  для АА-столкновений. События с очень малыми значениями  $c_s \ll 1$  отвечают столкновениям с малым прицельным параметром. Для столкновений несферических ядер начальная асимметрия рожденного файерболла чувствительна к угловой ориентации сталкивающихся ядер. Для аксиально-симметричного ядра ориентация описывается двумя полярными углами  $(\theta, \phi)$ . Ядро урана имеет вытянутую форму. Центральные продольно-продольные столкновения U+U с большим перекрытием соответствуют полярным углам, для которых  $|\cos \theta_1| + |\cos \theta_2| \approx 2$ . В этом случае азимутальная асимметрия рожденного файерболла определяется статистическими флуктуациями нуклонных распределений и поэтому должна быть малой. В случае сильно перекрывающихся столкновений для поперечно-поперечных конфигураций ядер, для которых  $|\cos \theta_1| + |\cos \theta_2| \ll 1$  и  $|\phi_1 - \phi_2| \ll \pi$  (или  $|\phi_1 - \phi_2| \approx \pi$ ), асимметрия файерболла должна быть больше из-за вытянутой формы ядерных эллипсоидов. В МКГ-моделях сильно перекрывающиеся столкновения соответствуют малым значениям  $N_s$ . По этой причине можно ожидать, что для малых  $c_s$  эксцентricность  $\epsilon_2$  должна уменьшаться с увеличением зарядовой плотности  $N_{ch}$ , поскольку относительный вклад члена  $N_{coll}$  в производство энтропии становится больше в продольно-продольных столкновениях, которые дают меньшую эллиптичность. Ситуации для столкновений Au+Au и U+U противоположны, поскольку ядро золота имеет сплюсненную форму. Поэтому в двухкомпонентной схеме Глаубера зарядовая множественность в сильно перекрывающихся столкновениях должна быть меньше в продольно-продольных столкновениях, и можно ожидать, что для малых  $c_s$  эксцентricность  $\epsilon_2$  должна расти с зарядовой множественностью.

На рис. 10а,б представлены линейные приближения наших МКГ-результатов в интервале  $0.9 < N_{ch}/\langle N_{ch} \rangle < 1.1$  для среднеквадратичного значения  $\epsilon_2$  в зависимости от отношения  $N_{ch}/\langle N_{ch} \rangle$  для окон центральности  $c_s < 0.1\%$  (а) и  $c_s < 1\%$  (б) (результаты показаны для ширины размытия  $\sigma = 0.7$  Фм, но для  $\sigma = 0.4$  Фм они сходны). Видно, что, как ожидалось, для сильно перекрывающихся столкновений в окне  $c_s < 0.1\%$  наклон кривых отрицательный для столкновений U+U и положительный для столкновений Au+Au. Наклон кривых меньше в версии с MB-компонентой. Для столкновений Au+Au в этой версии зависимость  $\epsilon_2$  практически пологая. Для  $c_s < 1\%$  наклон кривых для столкновений U+U становится чуть меньше, но для

столкновений Au+Au предсказания очень близки к случаю  $c_s < 0.1\%$ . На рис. 10в,г мы сравниваем теоретические предсказания с данными работы [29] по потоковому коэффициенту  $v_2$  для топ-0.1% и 1% ZDC центральностей, принимая, что  $v_2 \approx k\epsilon_2$  [72, 73]. Из-за неопределенностей величины отношения  $v_2/\epsilon_2$  в каждом случае мы просто выбираем значения  $k$  так, чтобы произведение  $k\epsilon_2$  соответствовало экспериментальным значениям  $v_2$  при  $N_{ch}/\langle N_{ch} \rangle \approx 1$ . Видно, что при уменьшении наклона в версии с MB-компонентой улучшается согласие с данными для окна центральности  $c_s < 0.1\%$ . Для столкновений U+U в окне 1% согласие с данными результатов без MB-компоненты такого же качества, как и с MB-компонентой. Однако есть значительное расхождение с данными для столкновений Au+Au. Экспериментальная зависимость  $v_2$  имеет заметный отрицательный наклон. Теоретическая кривая для версии без MB-компоненты имеет небольшой положительный наклон. Наклон становится положительным в версии с MB-компонентой, однако он значительно меньше, чем в экспериментальных данных. Таким образом, на рис. 10 видно, что учет MB-компоненты улучшает согласие с данными (особенно для столкновений U+U) для окна центральности  $c_s < 0.1\%$ . Но для  $c_s < 1\%$  ситуация в некоторой степени противоречива, и невозможно сделать определенный вывод. Возможно, что проблема для окна  $c_s < 1\%$  обусловлена неэквивалентностью категоризаций центральности: теоретической, через  $N_s$ , и экспериментальной, через ZDC-сигналы, использованные STAR [29], которая может усиливаться с ростом центральности.

#### 4.4. pA- и pp-столкновения

Нельзя исключить, что горячая кварк-глюонная плазма малого размера может рождаться в pA- и даже в pp-столкновениях. Идея о том, что она может рождаться в адронных столкновениях очень стара [76]. Наблюдение эффекта хребта в столкновениях p+Pb при  $\sqrt{s} = 5.02$  ТэВ [77–79] и в pp-событиях с высокой множественностью при  $\sqrt{s} = 7$  ТэВ [80] подкрепляют эту идею. Из наблюдаемых зарядовых множественностей можно заключить, что для типичных pPb- и pp-событий при энергиях ЛНС начальная температура кварк-глюонной миниплазмы при собственном времени  $\tau \approx 0.5$  Фм может быть около 250 МэВ [81, 82], что значительно выше температуры деконфайнмента. В сценарии с образованием кварк-глюонной миниплазмы эффект хребта в pPb- и pp-столкновениях может быть связан с гидро-

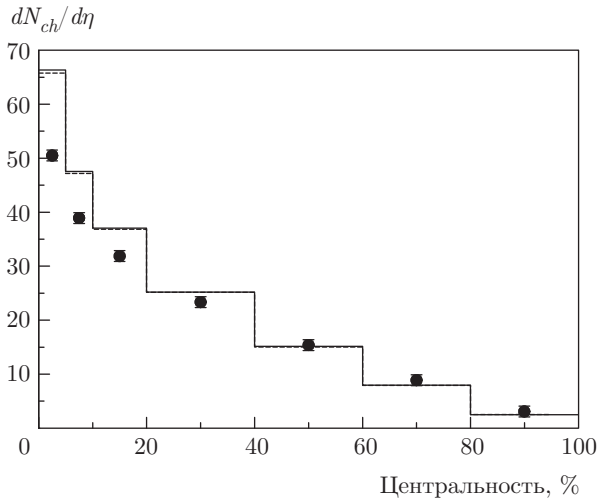


**Рис. 10.** Среднеквадратичные значения эллиптичности  $\epsilon_2$  (а, б) и  $v_2$  (е, з) в зависимости от  $N_{ch}/\langle N_{ch} \rangle$  для столкновений Au+Au и U+U для спекторной центральности  $c_s < 0.1\%$  (а, е) и  $c_s < 1\%$  (б, з). На графиках а, б — линейные приближения нашего МКГ-моделирования для  $\sigma = 0.7$  Фм с  $MB$ -компонентой при  $\alpha = 0.06$  (сплошные линии) и без  $MB$ -компоненты при  $\alpha = 0.135$  (штриховые). На графиках е, з — сравнение с данными STAR [29] (точки) по  $v_2$  в столкновениях Au+Au при  $\sqrt{s} = 0.2$  ТэВ и столкновениях U+U при  $\sqrt{s} = 0.193$  ТэВ: сплошные и штриховые линии — результаты МКГ для  $k\epsilon_2$  с константой перенормировки  $k$ , определенной так, чтобы воспроизвести экспериментальные значения  $v_2$  при  $N_{ch} = \langle N_{ch} \rangle$ . Обозначение линий то же, что и на графиках а, б

динамическим расширением азимутально-асимметричного плазменного фajerбола [83–85].

В этом разделе представлены наши результаты МКГ-моделирования минифajerболов в  $pPb$ - и  $pp$ -столкновениях при  $\sqrt{s} = 5.02$  ТэВ. Как и выше, для столкновений  $Pb+Pb$  при  $\sqrt{s} = 5.02$  ТэВ для параметра  $\alpha$  мы используем значения, полученные из анализа зависимости плотности зарядовой множественности от центральности в столкновениях  $Pb+Pb$  при  $\sqrt{s} = 2.76$  ТэВ. На рис. 11 показаны результаты для плотности зарядовой множественности  $dN_{ch}/d\eta$  в зависимости от центральности для версий с мезонным облаком и без него. Как и для  $AA$ -столкновений, мы определяем теоретическую центральность через распределение зарядовой множественности при  $\eta = 0$  (18). Мы сравниваем наши результаты с данными коллаборации ALICE [86], по-

лученными посредством критерия центральности, отвечающего центральной области быстрот (CL1 на рис. 16 в работе [86]). Заметим, что результаты [86], полученные посредством критериев центральности с большими интервалами  $|\eta|$  (V0M, V0A на рис. 16 в [86]) и по энергии, выделенной в нейтронном калориметре на стороне ядра  $Pb$  (ZNA на рис. 16 в [86]) дают несколько более слабую зависимость плотности зарядовой множественности от центральности. Тот факт, что различные критерии центральности  $c$  дают различные результаты, неудивителен, поскольку для  $pA$ -столкновений флуктуации  $N_{ch}$  порядка  $N_{ch}$  при заданном прицельном расстоянии. По этой причине, в отличие от  $AA$ -столкновений, где роль флуктуаций оказывается относительно малой [63], геометрия  $pA$ -столкновения не может быть аккуратно определена из наблюдаемой зарядовой множе-



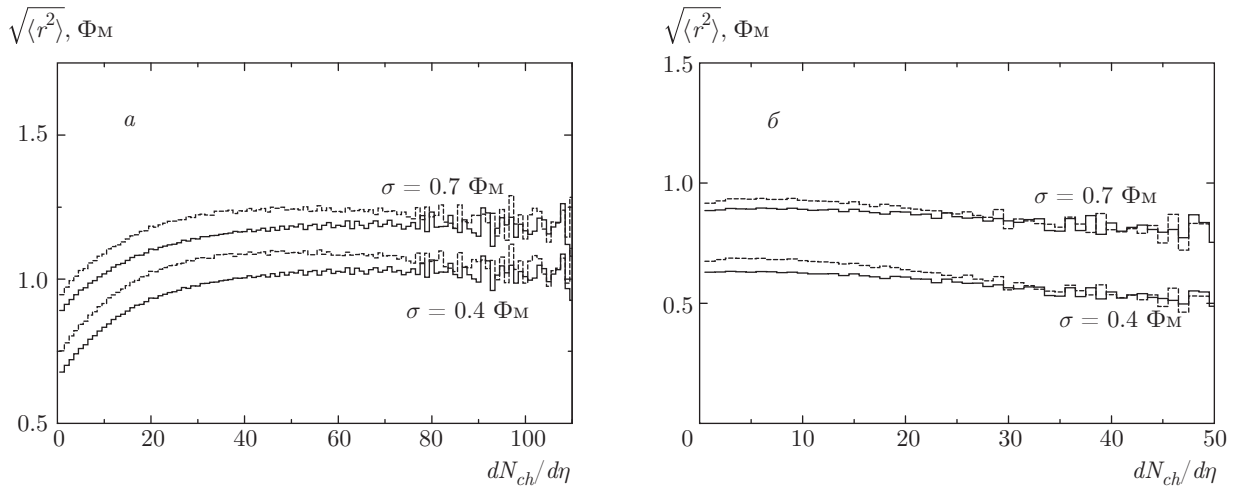
**Рис. 11.** Зависимость  $dN_{ch}/d\eta$  от центральности для столкновений  $p+Pb$  при  $\sqrt{s} = 5.02$  ТэВ,  $\eta = 0$ : сплошная линия — МКГ-моделирование в сценарии с мезонным облаком для  $\alpha = 0.09$ ; штриховая — МКГ-моделирование без мезонного облака для  $\alpha = 0.14$ ; точки — данные ALICE [86]

ственности в отдельных событиях. Несмотря на указанные выше неопределенности в определении центральности для  $pA$ -столкновений, на рис. 11 видно, что на качественном уровне теоретические результаты согласуются с экспериментальными данными. В некоторой степени более слабое уменьшение экспериментальной плотности зарядовой множественности с ростом центральности может быть обусловлено значительно более широкой областью псевдобыстротности ( $|\eta| < 1.4$ ), использованной в работе [86] при категоризации центральности, в то время как наша процедура соответствует  $|\eta| < 0.5$ . Понятно, что для более широкой области  $\eta$  эффект флуктуаций множественности должен быть меньше, а категоризация центральности должна быть смещена к более высоким центральностям. На рис. 11 видно, что теоретические результаты с мезонным облаком и без него оказываются очень близкими. Для средней плотности зарядовой множественности нет проблемы с выбором центральности. Наши вычисления для полного диапазона центральности дают  $dN_{ch}/d\eta \approx 19.5$ , что достаточно хорошо согласуется с результатом  $dN_{ch}/d\eta \approx 17.8$  для всех центральностей из работы [86].

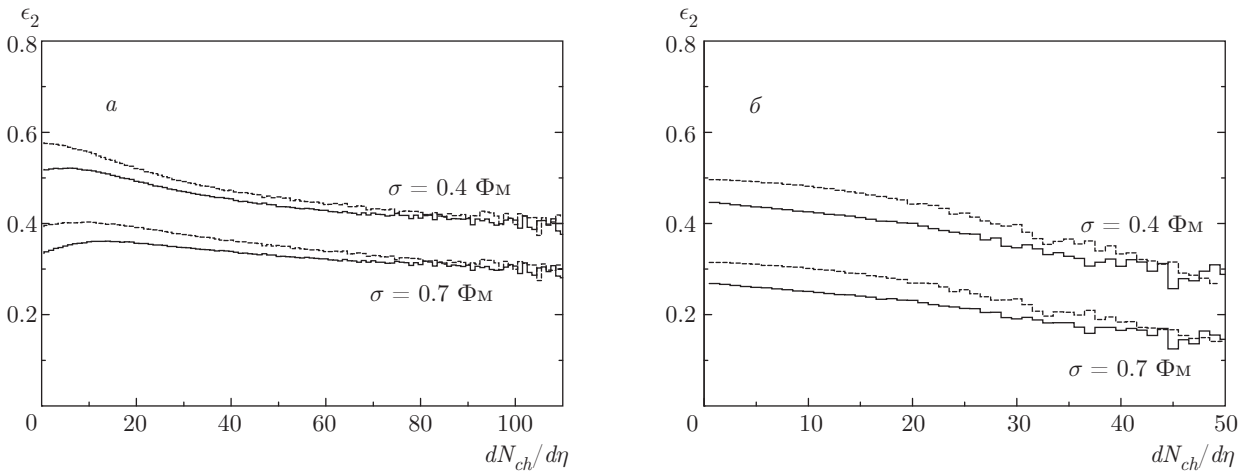
На рис. 12 показаны результаты МКГ-моделирования с мезонным облаком и без него для усредненного по событиям среднеквадратичного радиуса файерболла в зависимости от плотности зарядовой множественности для  $pPb$ - и  $pp$ -столкновений при  $\sqrt{s} = 5.02$  ТэВ, полученные для ширин размытия  $\sigma = 0.4, 0.7$  Фм.

Видно, что при небольших зарядовых множественностях версия с  $MB$ -компонентой дает несколько меньший радиус файерболла. Это обусловлено меньшими радиусами взаимодействия в этой версии. На рис. 12 видно, что увеличение радиуса файерболла с шириной размытости  $\sigma$  менее выражено для  $pPb$ -столкновений. Так происходит потому, что для  $pPb$ -столкновений геометрия файерболла в большой степени контролируется распределением нуклонов в ядре на всем пути налетающего протона. Рост размера файерболла с ростом множественности для  $pPb$ -столкновений связан с увеличением числа  $NN$ -взаимодействий с большими прицельными расстояниями.

На рис. 13 показаны результаты для зависимости эллиптичности  $\epsilon_2$  от множественности в  $pPb$ - и  $pp$ -столкновениях при  $\sqrt{s} = 5.02$  ТэВ. Видно, что как для  $pPb$ -столкновений, так и для  $pp$ -столкновений эллиптичность меньше в случае с  $MB$ -компонентой. Различие более выражено для  $pp$ -столкновений. Уменьшение эллиптичности с ростом множественности для версии с  $MB$ -компонентой обусловлено ростом доли жесткой составляющей для больших множественностей. Это связано с нашим выбором положения жестких источников посередине между двумя сталкивающимися частицами. Этот механизм также остается в силе и для версии с  $MB$ -компонентой. Конечно, эффект должен быть несколько слабее для меньшей величины  $\alpha$ . Однако в случае с  $MB$ -компонентой есть дополнительный механизм уменьшения эллиптичности с множественностью, обусловленный событиями с одновременным неупругим взаимодействием мезонных и барионных участников в  $MB$ -компоненте Фока, который приводит к более симметричному файерболу. Заметим, что наши результаты для среднеквадратичного значения  $\epsilon_2$  в  $pPb$ -столкновениях при  $\sigma = 0.7$  Фм качественно согласуются со среднеквадратичным потоковым коэффициентом  $v_2\{2\} \sim 0.055-0.07$ , полученным коллаборацией CMS [77], если принять, что  $\epsilon_2/v_2 \sim 6$ , как это было получено для кварк-глюонной плазмы большого размера в гидродинамических моделированиях [72, 73]. К сожалению, эллиптический поток  $v_2$  в данных CMS [77] приведен в зависимости от числа треков в CMS-детекторе, и нет возможности непосредственно сравнить его с нашей зависимостью от  $N_{ch}$  на рис. 13. Но в любом случае такое сравнение не могло бы быть критичным, поскольку наши предсказания геометрии файерболла малого размера в  $pA$ - и  $pp$ -столкновениях зависят от предположений о поперечных пространственных распределени-



**Рис. 12.** Зависимости  $\sqrt{\langle r^2 \rangle}$  от множественности для столкновений  $p+\text{Pb}$  (а) и  $p+p$  (б) при  $\sqrt{s} = 5.02$  ТэВ,  $\eta = 0$ , полученные из МКГ-моделирования для ширины гауссова источника  $\sigma = 0.7$  Фм и  $\sigma = 0.4$  Фм: сплошные линии — результаты для сценария с мезонным облаком для  $\alpha = 0.09$ ; пунктирные — без мезонного облака для  $\alpha = 0.14$



**Рис. 13.** Зависимости среднеквадратичного значения  $\epsilon_2$  от множественности для соударений  $p+\text{Pb}$  (а) и для  $p+p$  (б) при  $\sqrt{s} = 5.02$  ТэВ,  $\eta = 0$ , полученные из МКГ-моделирования для гауссовой ширины источника  $\sigma = 0.7, 0.4$  Фм: сплошные линии — результаты для сценария с мезонным облаком для  $\alpha = 0.09$ , пунктирные — без мезонного облака для  $\alpha = 0.14$

ях источников энтропии и по этой причине модельно-зависимы.

### 5. ВЫВОДЫ

Мы разработали монте-карловскую модель Глаубера для  $AA$ -,  $pA$ - и  $pp$ -столкновений, которая учитывает  $MB$ -компоненты Фока в нуклоне. Мы использовали вес  $MB$ -компоненты в волновой функции нуклона в СБИ, который позволяет описать данные ГНР по нарушению правила сумм Готтфри-

да [41]. Мы обнаружили, что при наличии  $MB$ -компоненты Фока требуемая доля бинарных столкновений в модели поврежденных нуклонов становится меньше. Из анализа данных коллаборации STAR [27] по плотности зарядовой множественности в столкновениях  $\text{Au}+\text{Au}$  при  $\sqrt{s} = 0.2$  ТэВ мы получили для доли бинарных столкновений  $\alpha = 0.06$  и  $\alpha = 0.135$  соответственно для версий с  $MB$ -компонентой и без нее. Аналогичная подгонка по данным коллаборации ALICE [52] по столкновениям  $\text{Pb}+\text{Pb}$  при  $\sqrt{s} = 2.76$  ТэВ дает для двух версий модели  $\alpha = 0.09$  и  $\alpha = 0.14$ . Наши результаты показывают,

что для центральных  $AA$ -столкновений при энергиях RHIC и LHC мезонное облако может увеличивать плотность множественности в центральной области быстрот примерно на 16–18%. Мы обнаружили, что  $MB$ -компонента приводит к росту отношения плотности зарядовой множественности к числу поврежденных нуклонов от периферийных до центральных  $AA$ -столкновений примерно на 20% и 15% при энергиях соответственно RHIC и LHC.

Мы использовали результаты нашего анализа данных по плотности зарядовой множественности в столкновениях Pb+Pb при  $\sqrt{s} = 2.76$  ТэВ, чтобы сделать предсказания для экспериментов будущего второго этапа эксплуатации LHC при  $\sqrt{s} = 5.02$  ТэВ. Мы обнаружили рост  $dN_{ch}/d\eta$  в центральных столкновениях Pb+Pb при  $\sqrt{s} = 5.02$  ТэВ примерно на 20% по сравнению со случаем  $\sqrt{s} = 2.76$  ТэВ.

Мы выяснили, что влияние мезонного облака на эксцентricность  $\epsilon_2$  в столкновениях Au+Au и Pb+Pb относительно мало за исключением самых периферийных столкновений, где оно уменьшает  $\epsilon_2$  примерно на 20%. Мы также изучили эксцентricность  $\epsilon_2$  для столкновений деформированных ядер урана. Для столкновений U+U наше МКГ-моделирование с  $MB$ -компонентой и без нее дает величину  $\epsilon_2$ , которая не имеет плечевидной структуры для почти центральных столкновений. Наши результаты для  $\epsilon_2$  в версии без  $MB$ -компоненты находятся в противоречии с результатами работ [31, 33], в которых была предсказана плечевидная структура в  $\epsilon_2$ . Мы обнаружили плечевидную структуру только в версии МКГ-модели без мезонного облака и без флуктуаций множественности в  $pp$ -столкновениях. Это согласуется с предсказаниями работ [30, 70]. Мы также изучили зависимость  $\epsilon_2$  от множественности для почти центральных столкновений U+U и Au+Au с центральностью  $c_s$ , определенной через число нуклонов-спектаторов  $N_s$ , которое используется, чтобы смоделировать категоризацию центральности через ZDC-сигналы [74]. Мы обнаружили, что для  $c_s < 0.1\%$   $MB$ -компонента Фока улучшает согласие с данными коллаборации STAR [29] по зависимости  $\epsilon_2$  от  $N_{ch}$ . Но результаты для  $c_s < 1\%$  не согласуются с данными (особенно для столкновений Au+Au). Возможно, что это связано с неэквивалентностью теоретической категоризации центральности через  $N_s$  и через ZDC-сигналы, использованной STAR [29].

Мы также применили нашу МКГ-модель к  $pA$ - и  $pp$ -столкновениям. Мы обнаружили, что эффект  $MB$ -компоненты может быть важен для начальной

асимметрии файерболов плазмы в  $pA$ - и  $pp$ -столкновениях, где он приводит к уменьшению эксцентricности  $\epsilon_2$  примерно на 15–20% для типичных зарядовых множественностей. Мы обнаружили, что для файерболов малого размера в  $pA$ - и  $pp$ -столкновениях МКГ-модель с мезонным облаком уменьшает размер файерболов на 10–20%.

Поскольку  $MB$ -компоненты представляют собой далекодействующие флуктуации в физическом нуклоне, можно ожидать, что обнаруженные эффекты должны присутствовать и в других схемах производства энтропии. Поэтому представляет большой интерес изучить влияние мезонного облака в рамках модели IP-глазмы [5, 6] (особенно для  $pA$ - и  $pp$ -столкновений, где эффект  $MB$ -компоненты должен быть больше).

Автор благодарен В. Брониовски и С. А. Волошину за полезную информацию. Работа выполнена при частичной финансовой поддержке РФФИ (грант № 15-02-00668-а).

## ЛИТЕРАТУРА

1. P. Huovinen, Int. J. Mod. Phys. E **22**, 1330029 (2013) and references therein.
2. R. Derradi de Souza, T. Koide, and T. Kodama, Progr. Part. Nucl. Phys. **86**, 35 (2016) and references therein.
3. U. Heinz and R. Snellings, Ann. Rev. Nucl. Part. Sci. **63**, 123 (2013).
4. H. Song, S. A. Bass, U. Heinz, and T. Hirano, Phys. Rev. C **83**, 054910 (2011), Erratum: Phys. Rev. C **86**, 059903 (2012).
5. B. Schenke, P. Tribedy, and R. Venugopalan, Phys. Rev. Lett. **108**, 252301 (2012).
6. B. Schenke, P. Tribedy, and R. Venugopalan, Phys. Rev. C **86**, 034908 (2012).
7. A. Bialas, M. Bleszynski, and W. Czyz, Nucl. Phys. B **111**, 461 (1976).
8. D. Kharzeev and M. Nardi, Phys. Lett. B **507**, 121 (2001).
9. L. D. McLerran and R. Venugopalan, Phys. Rev. D **49**, 2233 (1994).
10. N. N. Nikolaev and B. G. Zakharov, Z. Phys. C **49**, 607 (1991); C **53**, 331 (1992).

11. V. Barone, M. Genovese, N. N. Nikolaev, E. Predazzi, and B. G. Zakharov, *Z. Phys. C* **58**, 541 (1993).
12. N. N. Nikolaev and B. G. Zakharov, *Phys. Lett. B* **332**, 184 (1994).
13. F. E. Low, *Phys. Rev. D* **12**, 163 (1975).
14. E. V. Shuryak, *Rev. Mod. Phys.* **65**, 1 (1993).
15. A. Casher, H. Neuberger, and S. Nussinov, *Phys. Rev. D* **20**, 179 (1979).
16. E. Gotsman and S. Nussinov, *Phys. Rev. D* **22**, 624 (1980).
17. N. N. Nikolaev, B. G. Zakharov, and V. R. Zoller, *Письма в ЖЭТФ* **59**, 8 (1994).
18. N. N. Nikolaev and B. G. Zakharov, *Phys. Lett. B* **327**, 149 (1994).
19. R. Fiore, N. N. Nikolaev, and V. R. Zoller, *Письма в ЖЭТФ* **99**, 427 (2014).
20. A. Bialas and M. Jezabek, *Phys. Lett. B* **590**, 233 (2004).
21. A. Bialas, A. Bzdak, and R. Peschanski, *Phys. Lett. B* **665**, 35 (2008).
22. A. Bzdak, *Acta Phys. Polon. B* **41**, 2471 (2010).
23. B. Alver, M. Baker, C. Loizides, and P. Steinberg, arXiv:0805.4411.
24. W. Broniowski, M. Rybczynski, and P. Bozek, *Comput. Phys. Comm.* **180**, 69 (2009).
25. M. Rybczynski, G. Stefanek, W. Broniowski, and P. Bozek, *Comput. Phys. Comm.* **185**, 1759 (2014).
26. B. B. Back et al. [PHOBOS Collaboration], *Phys. Rev. C* **70**, 021902 (2004).
27. B. I. Abelev et al. [STAR Collaboration], *Phys. Rev. C* **79**, 034909 (2009).
28. M. Rybczynski and W. Broniowski, arXiv:1510.08242.
29. L. Adamczyk et al. [STAR Collaboration], *Phys. Rev. Lett.* **115**, 222301 (2015).
30. P. Filip, R. Lednicky, H. Masui, and N. Xu, *Phys. Rev. C* **80**, 054903 (2009).
31. S. A. Voloshin, *Phys. Rev. Lett.* **105**, 172301 (2010).
32. J. S. Moreland, J. E. Bernhard, and S. A. Bass, *Phys. Rev. C* **92**, 011901 (2015).
33. S. Chatterjee, S. K. Singh, S. Ghosh et al., *Phys. Lett. B* **758**, 269 (2016).
34. A. Bialas, W. Czyz, and W. Furmanski, *Acta Phys. Polon. B* **8**, 585 (1977).
35. A. Bialas and W. Czyz, *Acta Phys. Polon. B* **10**, 831 (1979).
36. P. Bozek, W. Broniowski, and M. Rybczynski, arXiv:1604.07697.
37. A. Bialas and A. Bzdak, *Phys. Rev. C* **77**, 034908 (2008).
38. S. Eremín and S. Voloshin, *Phys. Rev. C* **67**, 064905 (2003).
39. C. Loizides, arXiv:1603.07375.
40. S. S. Adler et al. [PHENIX Collaboration], *Phys. Rev. C* **89**, 044905 (2014).
41. J. Speth and A. W. Thomas, *Adv. Nucl. Phys.* **24**, 83 (1997).
42. S. D. Drell and K. Hiida, *Phys. Rev. Lett.* **7**, 199 (1961).
43. R. T. Deck, *Phys. Rev. Lett.* **13**, 169 (1964).
44. A. B. Kaidalov, *Phys. Rep.* **50**, 157 (1979).
45. M. L. Good and W. D. Walker, *Phys. Rev.* **120**, 1857 (1960).
46. К. Г. Боресков, А. Б. Кайдалов, Л. А. Пономарев, *ЯФ* **17**, 1285 (1973); **19**, 1103 (1974).
47. К. Г. Боресков, А. А. Григорян, А. Б. Кайдалов, *ЯФ* **24**, 789 (1976).
48. Б. Г. Захаров, В. Н. Сергеев, *ЯФ* **38**, 1555 (1983).
49. Б. Г. Захаров, В. Н. Сергеев, *ЯФ* **28**, 1339 (1978).
50. В. Н. Грибов, *ЖЭТФ* **56**, 892 (1969).
51. A. Kaidalov, *Nucl. Phys. A* **525**, 39 (1991).
52. K. Aamodt et al. [ALICE Collaboration], *Phys. Rev. Lett.* **106**, 032301 (2011).
53. B. G. Zakharov, *Письма в ЖЭТФ* **104**, 8 (2016).
54. V. R. Zoller, *Z. Phys. C* **60**, 141 (1993).
55. V. R. Zoller, *Z. Phys. C* **53**, 443 (1992).
56. W. Melnitchouk, J. Speth, and A. W. Thomas, *Phys. Rev. D* **59**, 014033 (1998).
57. H. Holtmann, A. Szczurek, and J. Speth, *Nucl. Phys. A* **596**, 631 (1996).
58. J. D. Sullivan, *Phys. Rev. D* **5**, 1732 (1972).

59. A. Szczurek and J. Speth, Nucl. Phys. A **555**, 249 (1993).
60. A. B. Kaidalov and M. G. Poghosyan, Eur. Phys. J. C **67**, 397 (2010).
61. A. Capella and E. G. Ferreira, Eur. Phys. J. C **72**, 1936 (2012).
62. B. Müller and K. Rajagopal, Eur. Phys. J. C **43**, 15 (2005).
63. W. Broniowski and W. Florkowski, Phys. Rev. C **65**, 024905 (2002).
64. D. Teaney and L. Yan, Phys. Rev. C **83**, 064904 (2011).
65. E. Retinskaya, M. Luzum, and J.-Y. Ollitrault, Nucl. Phys. A **926**, 152 (2014).
66. C. Albajar et al. [UA1 Collaboration], Nucl. Phys. B **335**, 261 (1990).
67. J. Adam et al. [ALICE Collaboration], arXiv:1509.07541.
68. B. Abelev et al. [ALICE Collaboration], Eur. Phys. J. C **73**, 2456 (2013).
69. R. E. Ansorge et al. [UA5 Collaboration], Z. Phys. C **43**, 357 (1989).
70. M. Rybczynski, W. Broniowski, and G. Stefanek, Phys. Rev. C **87**, 044908 (2013).
71. A. Goldschmidt, Z. Qiu, C. Shen, and U. Heinz, arXiv:1502.00603.
72. H. Niemi, G. S. Denicol, H. Holopainen, and P. Huovinen, Phys. Rev. C **87**, 054901 (2013).
73. Z. Qiu and U. W. Heinz, Phys. Rev. C **84**, 024911 (2011).
74. A. Goldschmidt, Z. Qiu, C. Shen, and U. Heinz, Phys. Rev. C **92**, 044903 (2015).
75. A. J. Kuhlman and U. W. Heinz, Phys. Rev. C **72**, 037901 (2005).
76. E. V. Shuryak, Phys. Lett. B **78**, 150 (1978).
77. S. Chatrchyan et al. [CMS Collaboration], Phys. Lett. B **718**, 795 (2013).
78. B. Abelev et al. [ALICE Collaboration], Phys. Lett. B **719**, 29 (2013).
79. G. Aad et al. [ATLAS Collaboration], Phys. Rev. Lett. **110**, 182302 (2013).
80. S. Chatrchyan et al. [CMS Collaboration], JHEP **1009**, 091 (2010).
81. B. G. Zakharov, Phys. Rev. Lett. **112**, 032301 (2014).
82. B. G. Zakharov, J. Phys. G **41**, 075008 (2014).
83. W. Broniowski, P. Bozek, M. Rybczynski, and E. R. Arriola, Acta Phys. Polon. Supp. **8**, 301 (2015).
84. P. Bozek, Acta Phys. Polon. B **41**, 837 (2010).
85. M. Habich, G. A. Miller, and P. Romatschke, Eur. Phys. J. C **76**, 408 (2016).
86. J. Adam et al. [ALICE Collaboration], Phys. Rev. C **91**, 064905 (2015).